Titre : Loi de comportement de LAIGLE Responsable : RAUDE Simon

Date : 17/05/2016 Page : 1/35 Clé : R7.01.15 Révision

ed0a05da1e89

Loi de comportement de LAIGLE

Résumé:

Le modèle rhéologique de Laigle permet d'analyser le comportement mécanique des roches. Le développement de ce modèle de comportement a été initié suite à la difficulté d'appréhender correctement la réponse du massif lors de l'excavation d'une cavité souterraine, dans le but :

- de définir le besoin et la nature des soutènements éventuels à mettre en œuvre ;
- de déterminer l'étendue du terrain autour d'un ouvrage influencée par le creusement.

La mise en œuvre de ce modèle élastoplastique a été principalement focalisée sur la simulation du comportement post-pic de la roche. On suppose, dans cette optique, qu'il n'y a pas d'écrouissage de la roche préalablement à la rupture de celle-ci. Cela se traduit par un comportement élastique linéaire jusqu'au pic de résistance (il peut néanmoins y avoir endommagement de la roche alors que le matériau n'est pas encore en rupture). Le critère de plasticité défini est de type Hoek et Brown généralisé et rend compte de l'influence du niveau de contrainte sur la résistance au cisaillement. Le radoucissement du matériau est associé à une diminution progressive des propriétés de cohésion et d'angle de frottement accompagnée d'un changement de volume. Il est piloté par la déformation déviatoire plastique cumulée considérée comme seule variable d'écrouissage.

Pour faciliter l'intégration de ce modèle dans *Code_Aster*, la loi initialement développée dans le formalisme des contraintes principales a été réécrite avec des invariants de contraintes sur une base du modèle Cambou-Jafari-Sidoroff (CJS). La formulation numérique est implicite par rapport au critère et explicite par rapport à la direction d'écoulement.

La convention de signe utilisée pour la formulation des équations, dans le cadre de cette note, est celle de la mécanique des milieux continus.

Responsable : RAUDE Simon

Date : 17/05/2016 Page : 2/35 Clé : R7.01.15 Révision

Révision ed0a05da1e89

Table des Matières

1 Notations. 4 1.1 Généralités. 4 1.2 Paramètres du modèle. 5 2 Introduction. 6 2.1 Phénoménologie du comportement des sols. 6 2.2 Contexte d'étude et hypothèses simplificatrices du modèle. 7 3 Le modèle continu. 8 3.1 Comportement élastique. 8 3.2 Critère de plasticité. 8 3.2.1 Surface de charge. 8 3.2.1.1 Expression du critère de Laigle en contraintes majeures et mineures. 8 3.2.1.2 Expression générale. 8 3.2.1.3 Allure des seuils. 9 3.2.2 Écrouissage. 9 3.2.3 Loi de dilatance. 10 3.2.3.1 Écriture généralisée. 10 3.2.3.2 Détermination de l'intersection du critère intermédiaire et du critère ultime 11 3.2.4 Écoulement plastique. 12 4 Calcul des dérivées. 13 4.1 Dérivée par rapport aux contraintes. 13 4.1.1 Dérivée par rapport aux contraintes. 13 4.1.2 Dérivée intermédiaire par rapport aux contraintes. 14 4.1.2 Dérivée totale du critère par rapport à la variable d'écrouissage. 14		
1.2 Paramètres du modèle	1 Notations	4
2.1 Phénoménologie du comportement des sols	1.1 Généralités	4
2.1 Phénoménologie du comportement des sols .6 2.2 Contexte d'étude et hypothèses simplificatrices du modèle .7 3 Le modèle continu .8 3.1 Comportement élastique .8 3.2 Critère de plasticité .8 3.2.1 Expression du critère de Laigle en contraintes majeures et mineures .8 3.2.1.2 Expression générale .8 3.2.1.3 Allure des seuils .9 3.2.2 Écrouissage .9 3.2.3.1 Écriture généralisée .10 3.2.3.2 Détermination de l'intersection du critère intermédiaire et du critère ultime .11 3.2.4 Écoulement plastique .12 4 Calcul des dérivées .13 4.1 Dérivée du critère .13 4.1.1 Dérivée par rapport aux contraintes .13 4.1.1.2 Dérivée intermédiaire par rapport au déviateur .13 4.1.1.2 Dérivée intermédiaire par rapport au déviateur .13 4.1.2 Dérivée par rapport aux contraintes .14 4.1.2 Dérivée par rapport à la variable d'écrouissage .14 4.2 Dérivée par rapport à la variable d'écrouissage .15 4.3 Dérivées des paramètres par rapport à la variable d'écrouissage .15 4.3 Dérivées des paramètres par	1.2 Paramètres du modèle	5
2.2 Contexte d'étude et hypothèses simplificatrices du modèle	2 Introduction	6
3.1 Comportement élastique	2.1 Phénoménologie du comportement des sols	6
3.1 Comportement élastique	2.2 Contexte d'étude et hypothèses simplificatrices du modèle	7
3.2 Critère de plasticité	3 Le modèle continu	8
3.2.1 Surface de charge	3.1 Comportement élastique	8
3.2.1.1 Expression du critère de Laigle en contraintes majeures et mineures	3.2 Critère de plasticité	8
3.2.1.2 Expression générale	3.2.1 Surface de charge	8
3.2.1.3 Allure des seuils	3.2.1.1 Expression du critère de Laigle en contraintes majeures	s et mineures8
3.2.2 Écrouissage	3.2.1.2 Expression générale	8
3.2.3 Loi de dilatance	3.2.1.3 Allure des seuils	9
3.2.3.1 Écriture généralisée	3.2.2 Écrouissage	9
3.2.3.2 Détermination de l'intersection du critère intermédiaire et du critère ultime	3.2.3 Loi de dilatance	10
3.2.4 Écoulement plastique 12 4 Calcul des dérivées 13 4.1 Dérivée du critère 13 4.1.1 Dérivée par rapport aux contraintes 13 4.1.1.1 Dérivée intermédiaire par rapport au déviateur 13 4.1.1.2 Dérivée intermédiaire par rapport aux contraintes 14 4.1.2 Dérivée par rapport à la variable d'écrouissage 14 4.2 Dérivée totale du critère par rapport au multiplicateur plastique 15 4.3 Dérivées des paramètres par rapport à la variable d'écrouissage 15 5 Opérateur tangent en vitesse 17 6 Traitement numérique adapté aux modèles non réguliers 18 6.1 La projection au sommet du cône 18 6.1.1 Définition de l'angle de projection 18 6.1.2 Existence de la projection 23 6.1.3.1 Cas où le paramètre de dilatance est négatif 23 6.1.3.2 Cas où le paramètre de dilatance est positif 23 6.1.3.4 Équations d'écoulement 24	3.2.3.1 Écriture généralisée	10
4 Calcul des dérivées	3.2.3.2 Détermination de l'intersection du critère intermédiaire e	et du critère ultime11
4.1 Dérivée du critère	3.2.4 Écoulement plastique	12
4.1.1 Dérivée par rapport aux contraintes	4 Calcul des dérivées	13
4.1.1.1 Dérivée intermédiaire par rapport au déviateur	4.1 Dérivée du critère	13
4.1.1.2 Dérivée intermédiaire par rapport aux contraintes	4.1.1 Dérivée par rapport aux contraintes	13
4.1.1.3 Expression finale de la dérivée du critère par rapport aux contraintes	4.1.1.1 Dérivée intermédiaire par rapport au déviateur	13
4.1.2 Dérivée par rapport à la variable d'écrouissage	4.1.1.2 Dérivée intermédiaire par rapport aux contraintes	14
4.2 Dérivée totale du critère par rapport au multiplicateur plastique	4.1.1.3 Expression finale de la dérivée du critère par rapport au	ux contraintes14
4.3 Dérivées des paramètres par rapport à la variable d'écrouissage	4.1.2 Dérivée par rapport à la variable d'écrouissage	14
5 Opérateur tangent en vitesse	4.2 Dérivée totale du critère par rapport au multiplicateur plastique	15
6 Traitement numérique adapté aux modèles non réguliers	4.3 Dérivées des paramètres par rapport à la variable d'écrouissage	15
6.1 La projection au sommet du cône	5 Opérateur tangent en vitesse	17
6.1.1 Définition de l'angle de projection	6 Traitement numérique adapté aux modèles non réguliers	18
6.1.2 Existence de la projection	6.1 La projection au sommet du cône	18
6.1.3 Règles de projection	6.1.1 Définition de l'angle de projection	18
6.1.3.1 Cas où le paramètre de dilatance est négatif	6.1.2 Existence de la projection	19
6.1.3.2 Cas où le paramètre de dilatance est positif	6.1.3 Règles de projection	23
6.1.3.3 Interprétation graphique	6.1.3.1 Cas où le paramètre de dilatance est négatif	23
6.1.3.4 Équations d'écoulement24	6.1.3.2 Cas où le paramètre de dilatance est positif	23
·	6.1.3.3 Interprétation graphique	23
6.2 Redécoupage local du pas de temps24	6.1.3.4 Équations d'écoulement	24
	6.2 Redécoupage local du pas de temps	24

Version default

Code_Aster

Titre: Loi de comportement de LAIGLE	
Personable : PALIDE Simon	

Date : 17/05/2016 Page : 3/35 Clé : R7.01.15 Révision

ed0a05da1e89

7 Les variables internes	25
7.1 V1 : la déformation déviatoire plastique cumulée	25
7.2 V2 : la déformation volumique plastique cumulée	25
7.3 V3 : les domaines de comportement de la roche	25
7.4 V4 : l'état de plastification	26
8 Présentation détaillée de l'algorithme	26
8.1 Calcul de la solution élastique	26
8.2 Calcul du critère élastique	26
8.3 Algorithme	27
9 Variante sur l'expression du critère de plasticité	30
9.1 Formulation générale	30
9.2 Allure des seuils	30
10 Fonctionnalités et vérification	32
11 Bibliographie	32
12 Description des versions du document	32
Annexe 1 Recalage du critère sur le triaxial en compression	33
Annexe 2 Normalisation de Q	34
Annexe 3 Encadrement de l'angle de projection	35

Responsable: RAUDE Simon

Date: 17/05/2016 Page: 4/35 Clé: R7.01.15 Révision

ed0a05da1e89

Notations

1.1 **Généralités**

σ désigne le tenseur des contraintes effectives en petites perturbations, noté sous la forme du vecteur suivant :

$$\begin{array}{c|c} \sigma_{11} \\ \sigma_{22} \\ \sigma_{33} \\ \sqrt{2}\,\sigma_{12} \\ \sqrt{2}\,\sigma_{13} \\ \sqrt{2}\,\sigma_{23} \end{array}$$

On note:

$$I_1 = \operatorname{tr}(\sigma)$$

$$s = \sigma - \frac{I_1}{3}I$$

$$s_{11} = \sqrt{s.s}$$

$$\sigma_{_1}$$

$$\sigma_3$$

$$e = \varepsilon - \frac{Tr(\varepsilon)}{3}I$$

$$\varepsilon_{\nu} = Tr(\mathbf{\epsilon})$$

$$\cos(3\theta) = 2^{1/2} 3^{3/2} \frac{\det(s)}{s_{II}^3}$$

$$\theta$$
 étant l'angle de Lode

$$\gamma^p = \sqrt{\frac{2}{3}e_{ij}^p e_{ij}^p}$$

déformations déviatoriques plastiques cumulées

G

fonction pilotant l'évolution des déformations plastiques et décrivant la direction d'écoulement

$$\tilde{\boldsymbol{G}} = \boldsymbol{G} - \frac{\operatorname{Tr}(\boldsymbol{G})}{3} \boldsymbol{I}$$

$$G = Tr(\boldsymbol{G})$$

$$\tilde{G}_{II} = \sqrt{\tilde{\boldsymbol{G}} \cdot \tilde{\boldsymbol{G}}}$$

$$\tilde{G}_{II} = \sqrt{\tilde{\boldsymbol{G}} \cdot \tilde{\boldsymbol{G}}}$$
 norme de $\tilde{\mathbf{G}}$

surface de charge

Responsable : RAUDE Simon Clé : R7.01.15

Date : 17/05/2016 Page : 5/35 Clé : R7.01.15 Révision

ed0a05da1e89

1.2 Paramètres du modèle

nature minéralogique de la roche) S Cohésion du milieu. Représentatif de l'endommagement de la roche. Caractérisation de la concavité du critère, fonction du niveau d'altération de l définit l'influence de la composante de dilatance dans le comportement au déformations. Déformation déviatoire plastique correspondant au critère ultime	Notation	Description
$\begin{array}{lll} a & \text{Caractérisation de la concavité du critère, fonction du niveau d'altération de la définit l'influence de la composante de dilatance dans le comportement au déformations.} \\ & \text{Déformation déviatoire plastique correspondant au critère ultime} \\ & & & & & & & & & & & & & & & & & & $	m	Pente du critère dans le plan (p',q) pour les très fortes contraintes (fonction de la nature minéralogique de la roche)
$\begin{array}{c} \text{ définit l'influence de la composante de dilatance dans le comportement au déformations.} \\ \text{ Déformation déviatoire plastique correspondant au critère ultime} \\ \textbf{Y}_{el} \\ Déformation déviatoire plastique correspondant à la disparition complète de complete de contrainte de complete de contrainte de complete de contrainte de contrainte de complete de contrainte de complete de contrainte de contraint$	S	Cohésion du milieu. Représentatif de l'endommagement de la roche.
$egin{array}{c} egin{array}{c} egin{array}$	a	Caractérisation de la concavité du critère, fonction du niveau d'altération de la roche. Il définit l'influence de la composante de dilatance dans le comportement aux grandes déformations.
m_{ult} Valeur de m du critère ultime atteinte en γ_{ult} m_e Valeur de m du critère intermédiaire atteinte en γ_e a_e Valeur de a du critère intermédiaire atteinte en γ_e m_{pic} Valeur de m du critère de pic atteinte au pic de contrainte a_{pic} Valeur de a du critère de pic atteinte au pic de contrainte γ_e Exposant régulant l'écrouissage γ_e Résistance à la compression simple γ_e Premier paramètre réglant la dilatance γ_e Second paramètre réglant la dilatance γ_e Paramètre de forme du critère de plasticité dans le plan déviatoire γ_e Module d'Young γ_e Coefficient de Poisson γ_{p1} Intersection du critère intermédiaire et du critère ultime	$\gamma_{ m ult}$	Déformation déviatoire plastique correspondant au critère ultime
m_e Valeur de m du critère intermédiaire atteinte en γ_e a_e Valeur de a du critère intermédiaire atteinte en γ_e m_{pic} Valeur de m du critère de pic atteinte au pic de contrainte a_{pic} Valeur de a du critère de pic atteinte au pic de contrainte γ_{pic} Exposant régulant l'écrouissage γ_{pic} Résistance à la compression simple γ_{pic} Premier paramètre réglant la dilatance γ_{pic} Second paramètre réglant la dilatance γ_{pic} Paramètre de forme du critère de plasticité dans le plan déviatoire γ_{pic} Module d'Young γ_{pic} Coefficient de Poisson γ_{pic} Intersection du critère intermédiaire et du critère ultime	$\gamma_{\it e}$	Déformation déviatoire plastique correspondant à la disparition complète de cohésion
$a_{e} \qquad \text{Valeur de } a \text{ du critère intermédiaire atteinte en } \gamma_{e}$ $m_{pic} \qquad \text{Valeur de } m \text{ du critère de pic atteinte au pic de contrainte}$ $a_{pic} \qquad \text{Valeur de } a \text{ du critère de pic atteinte au pic de contrainte}$ $\eta \qquad \text{Exposant régulant l'écrouissage}$ $\sigma_{c} \qquad \text{Résistance à la compression simple}$ $\gamma \qquad \text{Premier paramètre réglant la dilatance}$ $\zeta \qquad \text{Second paramètre réglant la dilatance}$ $\gamma \qquad \text{Paramètre de forme du critère de plasticité dans le plan déviatoire}$ $E \qquad \text{Module d'Young}$ $\gamma \qquad \text{Coefficient de Poisson}$ $\sigma_{p1} \qquad \text{Intersection du critère intermédiaire et du critère ultime}$	m_{ult}	Valeur de $\it m$ du critère ultime atteinte en $\it \gamma_{ult}$
$m_{pic} \qquad \text{Valeur de } m \text{ du critère de pic atteinte au pic de contrainte}$ $a_{pic} \qquad \text{Valeur de } a \text{ du critère de pic atteinte au pic de contrainte}$ $\eta \qquad \text{Exposant régulant l'écrouissage}$ $\sigma_c \qquad \text{Résistance à la compression simple}$ $\gamma \qquad \text{Premier paramètre réglant la dilatance}$ $\zeta \qquad \text{Second paramètre réglant la dilatance}$ $\varphi_{cjs} \qquad \text{Paramètre de forme du critère de plasticité dans le plan déviatoire}$ $E \qquad \text{Module d'Young}$ $\gamma \qquad \text{Coefficient de Poisson}$ $\sigma_{p1} \qquad \text{Intersection du critère intermédiaire et du critère de pic}$ $\sigma_{p2} \qquad \text{Intersection du critère intermédiaire et du critère ultime}$	m_e	Valeur de $\it m$ du critère intermédiaire atteinte en $ \gamma_{\it e} $
$a_{pic} \qquad \text{Valeur de } a \text{ du critère de pic atteinte au pic de contrainte}$ $\eta \qquad \text{Exposant régulant l'écrouissage}$ $\sigma_c \qquad \text{Résistance à la compression simple}$ $\gamma \qquad \text{Premier paramètre réglant la dilatance}$ $\zeta \qquad \text{Second paramètre réglant la dilatance}$ $\gamma \qquad \text{Paramètre de forme du critère de plasticité dans le plan déviatoire}$ $E \qquad \text{Module d'Young}$ $\gamma \qquad \text{Coefficient de Poisson}$ $\sigma_{p1} \qquad \text{Intersection du critère intermédiaire et du critère de pic}$ $\Gamma_{p2} \qquad \text{Intersection du critère intermédiaire et du critère ultime}$	a_e	Valeur de a du critère intermédiaire atteinte en $\gamma_{_{\it e}}$
$\begin{array}{lll} \eta & & & & & \\ & & & & \\ & & &$	m_{pic}	Valeur de $\it m$ du critère de pic atteinte au pic de contrainte
$\sigma_{c} \qquad \text{Résistance à la compression simple} \\ \gamma \qquad \text{Premier paramètre réglant la dilatance} \\ \zeta \qquad \text{Second paramètre réglant la dilatance} \\ \gamma_{cjs} \qquad \text{Paramètre de forme du critère de plasticité dans le plan déviatoire} \\ E \qquad \text{Module d'Young} \\ \gamma \qquad \text{Coefficient de Poisson} \\ \sigma_{p1} \qquad \text{Intersection du critère intermédiaire et du critère de pic} \\ \sigma_{p2} \qquad \text{Intersection du critère intermédiaire et du critère ultime} \\ \label{eq:section}$	a_{pic}	Valeur de a du critère de pic atteinte au pic de contrainte
$\begin{array}{cccccccccccccccccccccccccccccccccccc$	η	Exposant régulant l'écrouissage
Second paramètre réglant la dilatance $\gamma_{cjs} \qquad \text{Paramètre de forme du critère de plasticité dans le plan déviatoire}$ $E \qquad \text{Module d'Young}$ $\nu \qquad \text{Coefficient de Poisson}$ $\sigma_{p1} \qquad \text{Intersection du critère intermédiaire et du critère de pic}$ $\sigma_{p2} \qquad \text{Intersection du critère intermédiaire et du critère ultime}$	σ_c	Résistance à la compression simple
$\begin{array}{cccccccccccccccccccccccccccccccccccc$	γ	Premier paramètre réglant la dilatance
$F_{\rm cjs}$ $E_{\rm cjs}$ $E_{\rm coefficient}$ $E_{\rm coeff}$ E_{\rm	ζ	Second paramètre réglant la dilatance
$\begin{array}{ccc} & & & & & & \\ & & & & \\ & & & & \\ & & & & \\ & & & \\ & & & \\ & & & \\ & & & \\ & & & \\ & & & \\ & & & \\$	$\gamma_{ m cjs}$	Paramètre de forme du critère de plasticité dans le plan déviatoire
Intersection du critère intermédiaire et du critère de pic $\sigma_{\rm p2}$ Intersection du critère intermédiaire et du critère ultime	E	Module d'Young
Intersection du critère intermédiaire et du critère ultime σ_{p2}	ν	Coefficient de Poisson
σ_{p2}	$\sigma_{_{p1}}$	Intersection du critère intermédiaire et du critère de pic
PA Pression atmosphérique	$\sigma_{_{p2}}$	Intersection du critère intermédiaire et du critère ultime
	PA	Pression atmosphérique

Date: 17/05/2016 Page: 6/35 Clé: R7.01.15 Révision Responsable: RAUDE Simon

ed0a05da1e89

Introduction 2

L'objet de cette note est de présenter le modèle rhéologique pour analyser le comportement mécanique des roches, adapté à la simulation des ouvrages souterrains, introduit dans Code Aster et développé par le CIH [bib1]. La finalité de ce modèle est de pouvoir être mis en œuvre, de manière rapide et industrielle afin de répondre aux principales interrogations que se pose l'ingénieur lors de l'analyse et de la conception d'une cavité souterraine. La loi rhéologique doit pour cela rester relativement simple, aussi bien lors de l'identification des paramètres que dans sa mise en œuvre et lors de l'interprétation des résultats.

2.1 Phénoménologie du comportement des sols

Une des particularités d'une roche, par rapport à un sol, est que son comportement mécanique est, sur une plage de contrainte importante, piloté par la cohésion. Cette cohésion est associée à une cimentation du milieu, induite au cours de l'histoire géologique du massif, et est essentiellement de nature épitaxique. Au contraire, la résistance d'un sol est plus particulièrement régie par le terme de frottement et/ou de dilatance. La cohésion, d'origine essentiellement capillaire, n'a alors une influence que pour de très faibles états de contraintes de confinement.

Cette distinction entre un sol et une roche est importante car elle oriente le choix et les hypothèses de base du modèle de comportement.

Les principaux phénomènes rhéologiques associés à ce contexte sont les suivants :

- Dans le domaine des petites déformations, la réponse d'une roche, en particulier sous de faibles états de confinement, peut être assimilée à un comportement élastique linéaire, faiblement dépendant de l'état des contraintes. Les non-linéarités du comportement sont susceptibles d'apparaître préalablement au pic de résistance, dans le cas des roches tendres, pour un niveau de contrainte de l'ordre de 70 à 80% de la valeur maximale. Ce seuil diminue avec l'accroissement de la pression moyenne pour quasiment s'annuler lorsque la contrainte de surconsolidation est atteinte (cap-model). Sous de très faibles contraintes de confinement représentatives de celles régnant à proximité des ouvrages souterrains, ces non-linéarités sont généralement faibles, d'autant plus que la cimentation est importante, et donc le niveau de surconsolidation de la roche élevé.
- La dilatance (augmentation de volume) s'initie lorsque les non-linéarités apparaissent sur la courbe contrainte-déformation. Cette dilatance s'accroît jusqu'à ce qu'il y ait localisation au sein de l'échantillon. A ce moment, le taux de dilatance (ou l'angle de dilatance (u)) est maximal, pour ensuite progressivement décroître et s'annuler aux très grandes déformations.
- Le pic de résistance est atteint pour des contraintes décrivant un critère de rupture, généralement courbe dans le plan de Mohr ou dans le plan des contraintes principales majeures et mineures. L'hypothèse d'un critère linéaire de Mohr-Coulomb n'est donc qu'une hypothèse simplificatrice, ayant tendance, pour de faibles contraintes de confinement, à majorer la cohésion du milieu.
- Une fois la résistance maximale atteinte, la résistance de la roche diminue. Ce radoucissement post-pic est d'autant plus rapide et important (en intensité) que la contrainte de confinement est faible. Cette décroissance est liée à un endommagement plus ou moins localisé de la roche, en fonction du niveau de confinement. Quelle que soit cette contrainte, au-delà du pic, la roche ne peut plus être considérée comme continue. Son comportement est alors piloté par les conditions de déformation et de résistance au niveau de la zone de localisation des déformations.
- L'apparition d'une ou plusieurs discontinuités cinématiques au sein de la roche est associée à une perte de la cohésion. Le comportement post-pic est alors régi par les conditions de frottement et de dilatance le long des plans de discontinuité ou au sein d'une bande de localisation des déformations. Il ressort de ce raisonnement que pour de très grandes déformations, le comportement de la roche assimilée à une « structure », est uniquement frottant, et est caractérisé par un angle de frottement ultime de . Cet angle est une donnée intrinsèque du matériau, fonction des minéraux constitutifs de la roche. Il ne dépend donc pas directement des conditions de cohésion, et il peut surtout être considéré comme indépendant des dimensions de l'échantillon.

Titre : Loi de comportement de LAIGLE Responsable : RAUDE Simon Date : 17/05/2016 Page : 7/35 Clé : R7.01.15 Révision

ed0a05da1e89

• Lorsque le comportement devient uniquement frottant, il n'est associé à aucune déformation volumique. La dilatance s'est donc annulée, et n'existe plus aux grandes déformations.

• L'évolution entre la résistance de pic et l'état critique correspondant aux grandes déformations, est plus ou moins progressive en fonction de l'état des contraintes appliquées. Pour un état de confinement nul (compression simple), le comportement est uniquement piloté par la cohésion, et la rupture se traduit par une perte immédiate et brutale de toute résistance. Le radoucissement sera plus progressif au fur et à mesure que la contrainte de confinement augmentera, pour devenir inexistant au-delà d'une certaine contrainte de confinement limitant les domaines de comportement ductiles et fragiles.

2.2 Contexte d'étude et hypothèses simplificatrices du modèle

La volonté de développer un modèle aisé à mettre en œuvre s'accompagne nécessairement de simplifications, issues d'un compromis entre les objectifs attendus, les conditions d'utilisation du modèle (qualité des données d'entrée, délais et coût disponible...) et les moyens mis en œuvre pour assurer ces développements. Ces compromis sont essentiellement les suivants :

- Un comportement élastique linéaire jusqu'au pic de résistance. Ceci revient à supposer qu'il n'y a pas d'écrouissage de la roche préalablement à la rupture de celle-ci.
- Seul un critère de rupture en cisaillement est retenu. Ceci signifie que si la roche est écrasée de manière isotrope, le comportement reste élastique, et qu'il n'y a pas endommagement et écrouissage du matériau sous ce type de chemin. Durant les phases d'excavation d'un ouvrage souterrain avec mise en œuvre d'un soutènement léger, la pression moyenne dans le massif situé à proximité ne peut que diminuer (ou rester constante dans le cas idéal d'une cavité circulaire soumise à une sollicitation isotrope, pour un comportement élastique linéaire). La plastification sous contrainte isotrope, que l'on peut retrouver sur un Cap-Model ou sur une loi de type Cam-Clay ne nous a pas semblé indispensable compte tenu des objectifs recherchés, et dans le cas d'une sollicitation isotherme et à court terme.

Lors du développement de ce modèle, nous nous sommes volontairement focalisés sur l'étude et la simulation du comportement post-pic de la roche. Dans ce domaine de comportement, la résistance du matériau est supposée pilotée, en fonction de l'état des contraintes et du niveau d'endommagement de la roche, par la cohésion, la dilatance ou le frottement.

La cohésion définit la résistance du matériau tant que celui-ci reste continue. Elle est active jusqu'au pic de résistance, et n'a que peu d'influence sur le comportement radoucissant, à moins que la cohésion soit représentative d'une « colle » ductile (cas des sols injectés par gel de silicates,...).

Au fur et à mesure que la cohésion se détériore par endommagement, la dilatance augmente, pour atteindre sa valeur maximale lors de la perte de continuité du milieu. A ce moment, sous l'effet du cisaillement de la discontinuité induite, cette dilatance se dégrade progressivement et lentement. La rhéologie de la roche évolue alors vers un comportement purement frottant.

Responsable : RAUDE Simon

Date : 17/05/2016 Page : 8/35 Clé : R7.01.15 Révision

ed0a05da1e89

3 Le modèle continu

3.1 Comportement élastique

Le comportement élastique est piloté par une loi linéaire, avec un module constant indépendant de l'état de contraintes. Les 2 paramètres caractérisant ce comportement sont le module d'élasticité E et le coefficient de Poisson $_{\mathcal{V}}$.

$$\dot{s} = 2\mu \left(\dot{e} - \dot{e}^{p}\right)$$
 éq 3.1-1

$$\dot{I}_{1} = 3K \left(\dot{\varepsilon}_{y} - \dot{\varepsilon}_{y}^{p} \right)$$
 éq 3.1-2

3.2 Critère de plasticité

La formulation adoptée est celle de [bib2].

3.2.1 Surface de charge

3.2.1.1 Expression du critère de Laigle en contraintes majeures et mineures

$$f = \left(\frac{\sqrt{\frac{2}{3}}}{\sigma_c}\right)^{\frac{1}{a(\mathbf{y}^p)}} \left[\left(|\sigma_1 - \sigma_3| \right) \frac{1}{a(\mathbf{y}^p)} - (\sigma_c) \frac{1}{a(\mathbf{y}^p)} \left(\frac{m(\mathbf{y}^p)}{\sigma_c} (-\sigma_3) + s(\mathbf{y}^p) \right) \right]$$
 éq 3.2.1.1-1

3.2.1.2 Expression générale

On transforme l'expression précédente en fonction du premier invariant et du déviateur des contraintes, par un recalage du critère sur un triaxial en compression, pour obtenir :

$$f = \left(\frac{g(\mathbf{s})}{\sigma_c h_c^0}\right)^{\frac{1}{a(\mathbf{y}^p)}} - u(\mathbf{\sigma}, \mathbf{y}^p) \le 0$$
 éq 3.2.1.2-1

avec:

$$h(\theta) = (1 + \gamma_{cjs}\cos(3\theta))^{1/6} = \left(1 + \gamma_{cjs}\sqrt{54}\frac{det(s)}{s_{II}^3}\right)^{1/6}$$
 éq 3.2.1.2-2

$$g(s) = s_{II} h(\theta)$$
 éq 3.2.1.2-3

$$u(\mathbf{\sigma}, \mathbf{\gamma}^p) = -\frac{m(\mathbf{\gamma}^p)k(\mathbf{\gamma}^p)}{\sqrt{6}\sigma_c} \frac{g(\mathbf{s})}{h_c^0} - \frac{m(\mathbf{\gamma}^p)k(\mathbf{\gamma}^p)}{3\sigma_c} I_1 + s(\mathbf{\gamma}^p).k(\mathbf{\gamma}^p) \qquad \text{eq 3.2.1.2-4}$$

Date: 17/05/2016 Page: 9/35 Responsable: RAUDE Simon Clé: R7.01.15 Révision

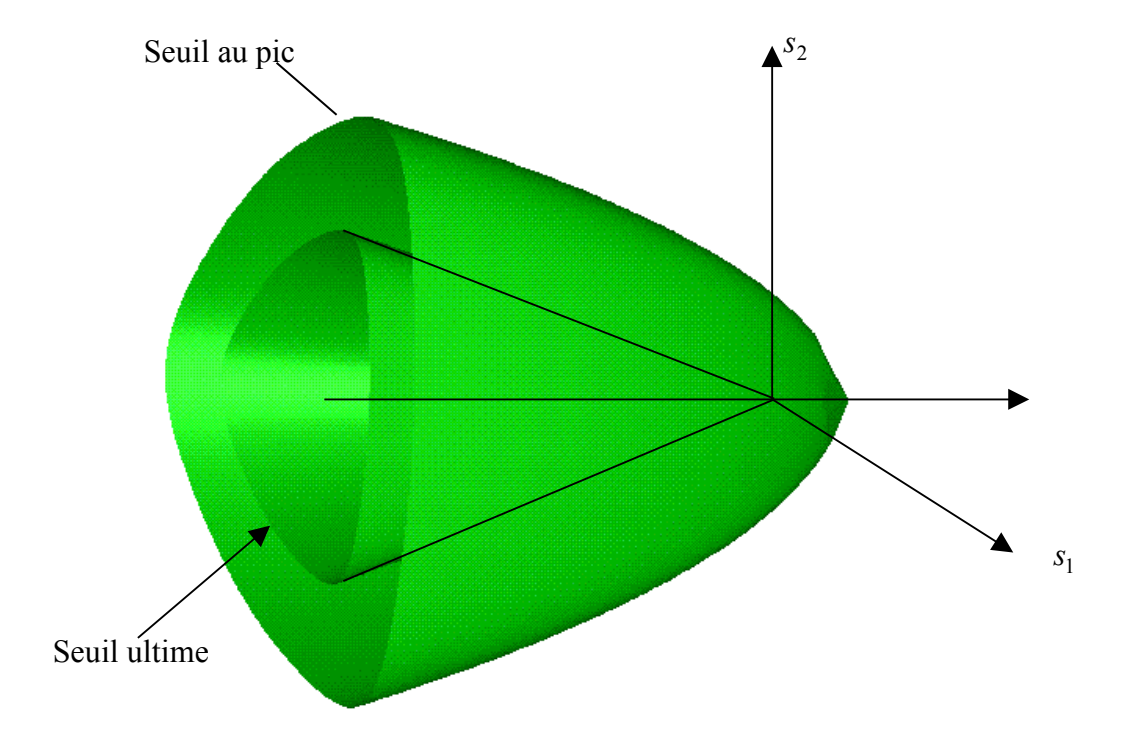
ed0a05da1e89

Remarque:

- On démontre [Annexe 1] l'équivalence des deux expressions
- On montre qu'une deuxième formulation du critère avec un recalage sur un triaxial en compression et en extension est possible mais nous ne la choisissons pas. Elle est toutefois présentée au chapitre [§9].

3.2.1.3 Allure des seuils

On trace l'allure des seuils au critère de pic et au critère ultime.



3.2.2 Écrouissage

Pour traduire le radoucissement post-pic de la roche on définit des lois de variations des paramètres m, s et a du critère en fonction de la variable interne d'écrouissage χ^p (il s'agit de la déformation déviatoire plastique cumulée, proportionnelle au deuxième invariant du tenseur des déformations déviatoires, correspondant à la distorsion plastique).

$$s(\gamma^{p}) = \left(1 - \frac{\gamma^{p}}{\gamma^{e}}\right) \quad \text{si} \gamma^{p} < \gamma_{e}$$

$$s(\gamma^{p}) = 0 \qquad \text{si} \gamma^{p} \ge \gamma_{e}$$

$$eq 3.2.2-1$$

$$si \frac{y^p > y_{\text{ult}}}{m = m_{\text{ult}}}$$

Responsable : RAUDE Simon

Date : 17/05/2016 Page : 10/35 Clé : R7.01.15 Révision

ed0a05da1e89

Sinon

$$\Omega(\gamma^{p}) = \left(\frac{\gamma^{p}}{\gamma^{e}}\right)^{\eta} \frac{a_{e} - a_{\text{pic}}}{1 - a_{e}} \frac{\gamma_{\text{ult}} - \gamma_{e}}{\gamma_{\text{ult}} - \gamma^{p}}$$
 éq 3.2.2-2

$$a\left(\gamma^{p}\right) = \frac{a_{\text{pic}} + \Omega\left(\gamma^{p}\right)}{1 + \Omega\left(\gamma^{p}\right)}$$
 éq 3.2.2-3

$$m(\gamma^{p}) = \frac{\sigma_{c}}{\sigma_{p1}} \left[\left(m^{\text{pic}} \frac{\sigma_{p1}}{\sigma_{c}} + 1 \right)^{\frac{a_{\text{pic}}}{a(\gamma^{p})}} - s(\gamma^{p}) \right] \quad \text{si } \gamma^{p} < \gamma_{e}$$

$$m(\gamma^{p}) = \frac{\sigma_{c}}{\sigma_{p2}} \left[\left(m_{e} \frac{\sigma_{p2}}{\sigma_{c}} \right)^{\frac{a_{\text{pic}}}{a(\gamma^{p})}} \right] \quad \text{si } \gamma^{p} \ge \gamma_{e}$$

$$k(\gamma^{p}) = \left(\frac{2}{3} \right)^{\frac{1}{2a(\gamma^{p})}}. \quad \text{éq 3.2.2-5}$$

Ces lois d'évolutions pour chacun des 3 paramètres sont dépendantes les unes des autres et respectent les conditions d'intersection des critères durant la phase d'écrouissage [bib1].

Remarque:

$$\lim_{\mathbf{y}^{p} \to \mathbf{y}_{e}} m \left(\mathbf{y}^{p} \right) = \frac{\sigma_{c}}{\sigma_{p1}} \left[\left(m_{pic} \frac{\sigma_{p1}}{\sigma_{c}} + 1 \right)^{\frac{a_{pic}}{a \left(\mathbf{y}_{p} \right)}} - s \left(\mathbf{y}^{p} \right) \right]$$
soit:
$$m_{e} = \frac{\sigma_{c}}{\sigma^{p1}} \left(m_{pic} \frac{\sigma_{p1}}{\sigma_{c}} + 1 \right)^{\frac{a_{pic}}{a_{e}}}$$
éq 3.2.2-6

3.2.3 Loi de dilatance

3.2.3.1 Écriture généralisée

La loi de dilatance (on admet que la valeur de la dilatance est inversement proportionnelle à celle de la cohésion) peut être généralisée en écrivant :

$$\sin \psi = \sin \left(\psi \left(\alpha' \right) \right) = \gamma \frac{\alpha' - m_{\text{ult}} - 1}{\zeta \alpha' + m_{\text{ult}} + 1}$$
 éq 3.2.3.1-1

Responsable : RAUDE Simon

Date : 17/05/2016 Page : 11/35 Clé : R7.01.15 Révision

ed0a05da1e89

avec:

$$\alpha = \alpha' \left(I_{1,g}(s), \sigma_{t0} \right) = \frac{\tilde{\sigma}_1 - \sigma_{t0}}{\tilde{\sigma}_3 - \sigma_{t0}}$$
 éq 3.2.3.1-2

$$s_{3} = \sqrt{\frac{2}{3}} s_{\text{II}} \cos{(\theta)}; \qquad s_{1} = \sqrt{\frac{2}{3}} s_{\text{II}} \cos{(\theta + \frac{2\pi}{3})}; \qquad s_{2} = \sqrt{\frac{2}{3}} s_{\text{II}} \cos{(\theta - \frac{2\pi}{3})}; \quad \text{où } \theta \quad \text{est l'angle de}$$

Lode

$$\sigma_1 = \frac{I_1}{3} + s_1; \quad \sigma_2 = \frac{I_1}{3} + s_2; \quad \sigma_3 = \frac{I_1}{3} + s_3;$$

$$\begin{cases} \tilde{\sigma}_{1} = \sigma_{i} \operatorname{avec} i \operatorname{tel} \operatorname{que} |\sigma_{i}| = \max \left(|\sigma_{j}|, j = 1, 2, 3 \right) \\ \tilde{\sigma}_{3} = \sigma_{i} \operatorname{avec} i \operatorname{tel} \operatorname{que} |\sigma_{i}| = \max \left(|\sigma_{j}|, j = 1, 2, 3 \right) \end{cases}$$

Remarque:

Une condition à respecter est que le rapport $\frac{\gamma}{\zeta}$ reste inférieur à 1. Dans le cas de roches

dures très résistantes, soumises à des contraintes de confinement relativement faibles, la loi de dilatance peut ainsi tendre vers ce rapport. Si les deux paramètres sont unitaires on retrouve l'expression de la loi de Rowe décrivant la loi de dilatance pour des sols pulvérulents. Cette approche revient à conserver la même expression que pour une roche fortement endommagée, en assimilant l'effet de la cohésion à celui d'un confinement supplémentaire de valeur $\sigma_{\cdot,n}$.

Caractérisation de $\sigma_{_{,0}}$ en fonction des paramètres (a, m, s) caractérisant la roche

• Cas où $s(\gamma^p)=0$ Disparition de la cohésion, on pose $\sigma_n=0$

• Cas où $s(\gamma^p) \neq 0$

$$\sigma_{t0} = \sigma_{t0} \left(\phi_{0}, C_{0} \right) = 2C_{0} \sqrt{\frac{1 - \sin \phi_{0}}{1 + \sin \phi_{0}}}$$
 éq 3.2.3.1-3

avec:

$$\begin{aligned} & \Phi_0 = \Phi_0(m, s, a) = 2 \cdot \arctan(\sqrt{1 + ams^{a-1}}) - \frac{\pi}{2} \\ & C_0 = C_0(m, s, a) = \frac{\sigma_c s^a}{\sqrt{1 + ams^{a-1}}} \end{aligned}$$

3.2.3.2 Détermination de l'intersection du critère intermédiaire et du critère ultime

En écrivant la continuité de m en $\gamma_{\rm nlt}$ on obtient la relation suivante :

Responsable : RAUDE Simon

Date : 17/05/2016 Page : 12/35 Clé : R7.01.15 Révision

ed0a05da1e89

$$m\left(\gamma_{\text{ult}}\right) = \frac{\sigma_c}{\sigma_{\text{p2}}} \left[\left(m_e \frac{\sigma_{\text{p2}}}{\sigma_c} \right)^{\frac{a_e}{a(\gamma_{\text{ult}})}} \right]$$

$$m_{\text{ult}} = \frac{\sigma_c}{\sigma_{\text{p2}}} \left(m_e \frac{\sigma_{\text{p2}}}{\sigma_c} \right)^{\frac{a_e}{a_{\text{ult}}}}$$

$$m_{\text{ult}} = m_e^{a_e} \left(\frac{\sigma_{\text{p2}}}{\sigma_c} \right)^{a_e - 1}$$

$$\sigma_{\text{p2}} = \sigma_c \left(\frac{m_{\text{ult}}}{m_e^{a_e}} \right)^{\frac{1}{a_e - 1}}$$
éq 3.2.3.2-1

3.2.4 Écoulement plastique

Le formalisme adopté est réécrit sur la base du modèle CJS [R7.01.13]. Quand les contraintes atteignent le bord du domaine de réversibilité, des déformations plastiques se développent. Pour les calculer, il existe une fonction potentielle pilotant l'évolution des déformations et définie par la relation $\mathbf{E}^p = \lambda \mathbf{G}$ où λ est le multiplicateur plastique et

$$G = \frac{\partial f}{\partial \sigma} - \left(\frac{\partial f}{\partial \sigma} n \right) n .$$
 éq 3.2.4-1

La fonction potentielle est obtenue à partir de la condition cinématique suivante :

$$\dot{\varepsilon_{v}^{p}} = -\beta \frac{\mathbf{s. \dot{\epsilon}^{p}}}{s_{II}}$$
 éq 3.2.4-2

Le paramètre de dilatance $\beta^{'}$ se calcule à partir de l'angle de dilatance ψ (défini par [éq 3.2.3.1-1]) par la formule :

$$\beta' = \beta'(\psi) = -\frac{2\sqrt{6}\sin(\psi)}{3 - \sin(\psi)}$$

$$\beta' = 0 \text{ si } \gamma^p > \gamma_{\text{olt}} (1 - 10^{-3})$$
éq 3.2.4-3

Remarque:

 β est positif quand $\gamma^p = 0$ et en compression, puis il devient négatif quand la plasticité se développe. Il est toujours négatif en traction

Il est alors possible de chercher à exprimer la condition cinématique [éq 3.2.4-2] à partir d'un tenseur **n** sous la forme :

$$n. \dot{\epsilon}^p = 0$$
 éq 3.2.4-4

Après décomposition de chaque terme en parties déviatoire et hydrostatique, on trouve l'expression :

$$(n_1 s_{ij} + n_2 \delta_{ij}) \cdot (\dot{e}_{ij}^{p} + \frac{1}{3} \dot{\epsilon}_{v}^{p} \delta_{ij}) = n_1 s_{ij} \dot{e}_{ij}^{p} + n_2 \dot{\epsilon}_{v}^{p} = 0$$

Titre: Loi de comportement de LAIGLE Responsable: RAUDE Simon

Date: 17/05/2016 Page: 13/35 Clé: R7.01.15 Révision

ed0a05da1e89

On en déduit la relation $\frac{n_1}{n_2} = \frac{\beta^{'}}{s_{\pi}}$ qui, ajouté à la condition de normalisation du tenseur ${\bf n}$, conduit à

l'expression :

$$n = \frac{\beta, \frac{s}{s_{II}} + I}{\sqrt{\beta^2 + 3}}$$
 éq 3.2.4-5

La loi d'évolution de $\dot{\epsilon}^p$ doit être telle que la condition cinématique soit satisfaite. Il est donc proposé de prendre la projection de $\dot{\epsilon}^p$ sur \mathbf{n} (normale de l'hypersurface de déformation), soit :

$$\dot{\mathbf{\varepsilon}^p} = \dot{\lambda} \mathbf{G} = \dot{\lambda} \left[\frac{\partial f}{\partial \mathbf{\sigma}} - \left(\frac{\partial f}{\partial \mathbf{\sigma}} \mathbf{n} \right) \mathbf{n} \right]$$

On en déduit également la condition portant sur la déformation volumique plastique :

$$\dot{\varepsilon}_{y}^{p} = \dot{\lambda}G$$
 éq 3.2.4-6

4 Calcul des dérivées

4.1 Dérivée du critère

Dérivée par rapport aux contraintes 4.1.1

Dérivée intermédiaire par rapport au déviateur

On part de :
$$\frac{\partial \, g}{\partial \, s_{ij}} = h \Big(\theta \Big) \frac{\partial \, s_{ii}}{\partial \, s_{ij}} + s_{ii} \frac{\partial \, h \Big(\theta \Big)}{\partial \, s_{ij}}$$
 où
$$\frac{\partial \, s_{ii}}{\partial \, s_{ii}} \ \, \text{et} \ \, \frac{\partial \, h \Big(\theta \Big)}{s_{ii}} \ \, \text{sont respectivement donnés par :}$$

$$\frac{s_{II}}{s_{ij}} = \frac{s_{ij}}{s_{II}}$$

$$\frac{\partial h(\theta)}{\partial s_{ij}} = \frac{1}{6h(\theta)_{5}} \frac{\partial}{\partial s_{ij}} \left(1 + \gamma_{cjs} \sqrt{54} \frac{\det(\underline{\underline{s}})}{s_{II}^{3}} \right)$$

$$= \frac{-\gamma_{cjs} \cos(3\theta)}{2h(\theta)^{5} s_{II}^{2}} s_{ij} + \frac{\gamma_{cjs} \sqrt{54}}{6h(\theta)^{5} s_{II}^{3}} \left(\frac{\partial \det(\underline{\underline{s}})}{\partial s_{ij}} \right)$$

Finalement:

$$\frac{\partial g}{\partial s_{ij}} = \frac{1}{h(\theta)^{5}} \left[\left(1 + \frac{\gamma_{cjs}}{2} \cos(3\theta) \right) \frac{s_{ij}}{s_{II}} + \frac{\gamma_{cjs} \sqrt{54}}{6s_{II}^{2}} \left(\frac{\partial det(\underline{\underline{s}})}{\partial s_{ij}} \right) \right]$$

Et par conséquent :

Responsable : RAUDE Simon

Date: 17/05/2016 Page: 14/35 Clé: R7.01.15 Révision

ed0a05da1e89

$$\frac{\partial g}{\partial s_{ij}} = \frac{1}{h(\theta)^{5}} \left[\left(1 + \frac{\gamma_{cjs}}{2} \cos(3\theta) \right) \frac{s}{s_{II}} + \frac{\gamma_{cjs}\sqrt{54}}{6s_{II}^{2}} \left(\frac{\partial \det(\underline{s})}{\partial s_{ij}} \right) \right]$$
 éq 4.1.1.1-1

4.1.1.2 Dérivée intermédiaire par rapport aux contraintes

On pose par définition :
$$\begin{aligned} Q_{\mathbf{i}\mathbf{j}} &= dev \left(\frac{\partial \, g}{\partial \, s_{\mathbf{i}\mathbf{j}}} \right) \\ &\frac{\partial \, g}{\partial \, \sigma_{\mathbf{i}\mathbf{j}}} = \frac{\partial \, g}{\partial \, s_{\mathbf{k}\mathbf{l}}} \frac{\partial \, s_{\mathbf{k}\mathbf{l}}}{\partial \, \sigma_{\mathbf{i}\mathbf{j}}} = \left[dev \left(\frac{\partial \, g}{\partial \, s_{\mathbf{k}\mathbf{l}}} \right) + \frac{1}{3} \frac{\partial \, g}{\partial \, s_{\mathbf{m}\mathbf{m}}} \delta_{\mathbf{k}\mathbf{l}} \right] \left[\delta_{\mathbf{i}\mathbf{k}} \, \delta_{\mathbf{j}\mathbf{l}} - \frac{1}{3} \delta_{\mathbf{i}\mathbf{j}} \, \delta_{\mathbf{k}\mathbf{l}} \right] \\ &\frac{\partial \, g}{\partial \, \sigma_{\mathbf{i}\mathbf{j}}} = Q_{\mathbf{k}\mathbf{l}} \, \delta_{\mathbf{i}\mathbf{k}} \, \delta_{\mathbf{j}\mathbf{l}} - \frac{1}{3} \, \delta_{\mathbf{i}\mathbf{j}} \, Q_{\mathbf{k}\mathbf{l}} \, \delta_{\mathbf{k}\mathbf{l}} + \frac{1}{3} \frac{\partial \, g}{\partial \, q_{\mathbf{m}\mathbf{m}}} \left[\delta_{\mathbf{i}\mathbf{k}} \, \delta_{\mathbf{j}\mathbf{l}} \, \delta_{\mathbf{k}\mathbf{l}} - \frac{1}{3} \, \delta_{\mathbf{i}\mathbf{j}} \, \delta_{\mathbf{k}\mathbf{l}} \, \delta_{\mathbf{k}\mathbf{l}} \right] \\ &\frac{\partial \, g}{\partial \, \sigma_{\mathbf{i}\mathbf{j}}} = Q_{\mathbf{i}\mathbf{j}} \end{aligned}$$

Il suffit alors de prendre la partie déviatorique de $\frac{\partial g}{\partial s_{ii}}$ pour obtenir :

$$\frac{\partial g}{\partial \sigma_{ij}} = Q_{ij} = dev \left(\frac{\partial g}{\partial s_{ij}} \right) = \frac{1}{h(\theta)^{5}} \left[\left(1 + \frac{\gamma_{cjs}}{2} \cos \left(3 \theta \right) \right) \frac{s_{ij}}{s_{II}} + \frac{\gamma_{cjs} \sqrt{54}}{6 s_{II}^{2}} dev \left(\frac{\partial det \left(\underline{\underline{s}} \right)}{\partial s_{ij}} \right) \right]$$

Et par conséquent :

$$\mathbf{Q} = \frac{\partial g}{\partial \mathbf{\sigma}} = \frac{1}{h(\theta)^{5}} \left[\left(1 + \frac{\mathbf{Y}_{cjs}}{2} \cos(3\theta) \right) \frac{\mathbf{s}}{s_{II}} + \frac{\mathbf{Y}_{cjs}\sqrt{54}}{6s_{II}^{2}} dev \left(\frac{\partial det(\underline{\mathbf{s}})}{\partial s} \right) \right] \quad \text{éq 4.1.1.2-1}$$

4.1.1.3 Expression finale de la dérivée du critère par rapport aux contraintes

La dérivée du critère par rapport aux contraintes est alors :

$$\frac{\partial f}{\partial \sigma} = \frac{1}{a(\chi^p)} \frac{1}{\sigma_0 h_0^0} \frac{1}{a(\chi^p)} (g) r^{\frac{1 - a(\chi^p)}{a(\chi^p)}} \mathbf{Q} - \frac{\partial u}{\partial \sigma}$$
 éq 4.1.1.3-1

avec

$$\frac{\partial u}{\partial \mathbf{\sigma}} = -\frac{m(\mathbf{y}^p)k(\mathbf{y}^p)}{\sigma_c} \left(\frac{1}{\sqrt{6}h_c^0} \mathbf{Q} + \frac{1}{3}\mathbf{I} \right)$$
 éq 4.1.1.3-2

4.1.2 Dérivée par rapport à la variable d'écrouissage

$$\frac{\partial f}{\partial \gamma^{p}} = -\left(\frac{1}{a(\gamma^{p})}\right)^{2} \left(\frac{g(\mathbf{s})}{\sigma_{c} h_{c}^{0}}\right)^{\frac{1}{a(\gamma^{p})}} \log\left(\frac{g(\mathbf{s})}{\sigma_{c} h_{c}^{0}}\right) \cdot \frac{\partial a}{\partial \gamma^{p}} - \frac{\partial u}{\partial \gamma^{p}}$$
 éq 4.1.2-1

avec

$$\frac{\partial u}{\partial \gamma^{p}} = -\frac{1}{\sqrt{6\sigma}} \frac{\partial (km)}{\partial \gamma^{p}} (\gamma^{p}) \frac{g}{h^{0}} - \frac{1}{3\sigma} \frac{\partial (km)}{\partial \gamma^{p}} (\gamma^{p}) I_{1} + \frac{\partial (ks)}{\partial \gamma^{p}} (\gamma^{p}) \qquad \text{eq 4.1.2-2}$$

Titre : Loi de comportement de LAIGLE Responsable : RAUDE Simon Date : 17/05/2016 Page : 15/35 Clé : R7.01.15 Révision

ed0a05da1e89

4.2 Dérivée totale du critère par rapport au multiplicateur plastique

Considérons la fonction :

$$f^{i}(\Delta \lambda) = f\left(s^{e} - 2 \mu \Delta \lambda \tilde{G}, I_{1}^{e} - 3K \Delta \lambda G, \gamma^{p} + \Delta \lambda \sqrt{\frac{2}{3}} \tilde{G}_{II}\right)$$
 éq 4.2-1

Où G est un tenseur fixe indépendant de . $\Delta \lambda$ C'est de cette fonction dont nous cherchons le zéro pour trouver l'état de contrainte :

$$\frac{\partial f^*}{\partial \Delta \lambda} = -\frac{\partial f}{\partial \sigma} \cdot \left(2 \mu \tilde{\mathbf{G}} + KG \mathbf{I} \right) + \frac{\partial f}{\partial \gamma^p} \sqrt{\frac{2}{3}} \tilde{G}_{II}$$
 éq 4.2-2

4.3 Dérivées des paramètres par rapport à la variable d'écrouissage

$$\begin{cases} \frac{\partial s}{\partial \gamma^p} = -\frac{1}{\gamma_e} & si \gamma^p < \gamma_e \\ \frac{\partial s}{\partial \gamma^p} = 0 & si \gamma^p \ge \gamma_e \end{cases}$$
 éq 4.3-1

$$\frac{\partial m}{\partial s} = -\frac{\sigma_c}{\sigma_{p1}} \quad si\gamma^p < \gamma_e$$

$$\frac{\partial m}{\partial s} = 0 \quad si\gamma^p \ge \gamma_e$$
éq 4.3-2

$$\frac{\partial m}{\partial a} = -\frac{\sigma_c}{\sigma_{p1}} \log \left(m_{pic} \frac{\sigma_{p1}}{\sigma_c} + 1 \right) \frac{a_{pic}}{a^2} \left(m_{pic} \frac{\sigma_{p1}}{\sigma_c} + 1 \right)^{\frac{a_{pic}}{a}} \sin \gamma^p < \gamma_e
\frac{\partial m}{\partial a} = -\frac{\sigma_c}{\sigma_{p2}} \log \left(m_e \frac{\sigma_{p2}}{\sigma_c} \right) \frac{a_e}{a^2} \left(m_e \frac{\sigma_{p2}}{\sigma_c} \right)^{\frac{a_{pic}}{a}} \sin \gamma^p < \gamma_e
\sin \gamma^p < \gamma_e$$

$$\frac{\partial \Omega}{\partial \gamma^{p}} = \frac{\left(\gamma_{\text{ult}} - \gamma_{e}\right)}{\left(\gamma_{e}\right)^{\eta}} \frac{a_{e} - a_{\text{pic}}}{1 - a_{e}} \left(\frac{\eta}{\gamma_{\text{ult}} - \gamma^{p}} (\gamma^{p})^{\eta - 1} + (\gamma^{p})^{\eta} \frac{1}{\left(\gamma_{\text{ult}} - \gamma^{p}\right)^{2}}\right)$$
 éq 4.3-4

$$\frac{\partial a}{\partial \mathbf{\Omega}} = \frac{1 - a_{\text{pic}}}{\left(1 + \Omega\right)^2}$$
 éq 4.3-5

$$\frac{\partial m}{\partial \gamma^p} = \frac{\partial m}{\partial a} \frac{\partial a}{\partial \gamma^p} + \frac{\partial m}{\partial s} \frac{\partial s}{\partial \gamma^p} \quad \text{si} \gamma^p < \gamma_e$$

$$\frac{\partial m}{\partial y^{p}} = \frac{\partial m}{\partial a} \frac{\partial a}{\partial y^{p}} \qquad \text{si } y_{\text{ult}} (1 - 10^{-3}) > y^{p} \ge y_{e} \qquad \text{éq 4.3-6}$$

$$\frac{\partial m}{\partial y^p} = 0 \qquad \qquad \operatorname{si} \gamma_{\text{ult}} (1 - 10^{-3}) < \gamma^p$$

Responsable: RAUDE Simon

Date: 17/05/2016 Page: 16/35 Clé: R7.01.15

Révision

ed0a05da1e89

$$\frac{\partial k}{\partial \gamma^{p}} = -\left(\frac{2}{3}\right)^{\frac{1}{2a}} \log\left(\frac{2}{3}\right) \frac{1}{2a^{2}} \frac{\partial a}{\partial \gamma^{p}} \quad \gamma_{\text{ult}} (1 - 10^{-3}) > \gamma^{p}$$

$$\frac{\partial k}{\partial \gamma^{p}} = 0 \qquad \text{sinon}$$

$$\text{éq 4.3-7}$$

Titre : Loi de comportement de LAIGLE Responsable : RAUDE Simon

Date : 17/05/2016 Page : 17/35 Clé : R7.01.15 Révision

ed0a05da1e89

5 Opérateur tangent en vitesse

La condition

 $\dot{f} = 0$ éq 5-1

s'écrit :

$$\dot{f} = \frac{\partial f}{\partial \sigma_{ij}} \dot{\sigma}_{ij} + \frac{\partial f}{\partial \gamma^p} \dot{\gamma}^p = 0$$

A partir de l'expression de la déformation déviatorique plastique cumulée et $\gamma^p = \sqrt{\frac{2}{3}e_{ij}^p e_{ij}^p}$ de la relation $\dot{e}^p = \dot{\lambda} \tilde{G}$, on trouve alors la condition :

$$\dot{f} = \frac{\partial f}{\partial \sigma_{ij}} \dot{\sigma}_{ij} + \frac{\partial f}{\partial \gamma^p} \sqrt{\frac{2}{3}} \dot{\lambda} \, \tilde{G}_{II} = 0$$

Ce qui nous donne pour le multiplicateur plastique :

$$\dot{\lambda} = \frac{-\frac{\partial f}{\partial \sigma_{ij}} \dot{\sigma}_{ij}}{\sqrt{\frac{2}{3} \frac{\partial f}{\partial \gamma^p} \tilde{G}_{II}}}$$

En considérant alors la relation contraintes/déformations :

$$\frac{\partial f}{\partial \sigma_{ij}} \dot{\sigma_{ij}} = \frac{\partial f}{\partial \sigma_{ij}} D_{ijkl} \dot{\varepsilon_{kl}} = \frac{\partial f}{\partial \sigma_{ij}} D_{ijkl} = \frac{\partial f}{\partial \sigma_{ij}} D_{ijkl} \dot{\varepsilon_{kl}} - \dot{\lambda} \frac{\partial f}{\partial \sigma_{ij}} D_{ijkl} G_{kl}$$

et en la reportant dans l'expression de $\dot{\lambda}$ on peut écrire :

$$\dot{\lambda} = -\frac{\frac{\partial f}{\partial \sigma_{ij}} D_{ijkl} \varepsilon_{kl} - \dot{\lambda} \frac{\partial f}{\partial \sigma_{ij}} D_{ijkl} G_{kl}}{\sqrt{\frac{2}{3} \frac{\partial f}{\partial \gamma^{p}} \tilde{G}_{II}}}$$

Soit:

$$\dot{\lambda} \! = \! - \frac{\frac{\partial f}{\partial \sigma_{ij}} D_{ijkl} \dot{\varepsilon_{kl}}}{\sqrt{\frac{2}{3}} \frac{\partial f}{\partial \gamma^p} \tilde{G}_{il} \! - \! \frac{\partial f}{\partial \sigma_{ij}} D_{ijkl} G_{kl}}$$
 éq 5-2

En reportant ce résultat dans l'expression de $\stackrel{.}{\sigma}_{_{ii}}$ on trouve :

$$\vec{\sigma}_{ab} = D_{abcd} \left[\vec{\epsilon}_{cd} + \frac{\frac{\partial f}{\partial \sigma_{ij}} D_{ijkl} \vec{\epsilon}_{kl}}{\sqrt{\frac{2}{3}} \frac{\partial f}{\partial \gamma^p} \tilde{G}_{II} - \frac{\partial f}{\partial \sigma_{ij}} D_{ijkl} G_{kl}} G_{cd} \right]$$
 éq 5-3

Responsable : RAUDE Simon Clé : R7.01.15 Révisio ed0a0.

Date : 17/05/2016 Page : 18/35 Clé : R7.01.15 Révision

ed0a05da1e89

6 Traitement numérique adapté aux modèles non réguliers

La loi d'évolution du mécanisme plastique, définie au chapitre [§3], doit satisfaire la condition cinématique [éq 3.2.4-2]. La projection proposée sur la normale de l'hypersurface de déformation peut conduire à une « non-solution » qui se traduit par un échec du traitement numérique (voir l'interprétation graphique du chapitre [§6.1.3.3]). On propose dans ce chapitre de définir des règles de projection permettant de gérer les modèles dits « non-réguliers » en leur imposant une projection dite « au sommet du cône ».

De plus, comme pour d'autres relations de comportement, on ajoute la possibilité de découper localement (aux points de Gauss) le pas de temps pour faciliter l'intégration numérique.

6.1 La projection au sommet du cône

6.1.1 Définition de l'angle de projection

On se place dans ce chapitre dans le cadre d'accroissement fini. Les équations traduisant le comportement élastique s'écrivent :

$$s = s^{-} + 2 \mu \left(\Delta e - \Delta r^{p} \right) = s^{e} - 2 \mu \Delta e^{p}$$
 éq 6.1.1-1

$$I_1 = I_1 + 3K \left(\Delta \varepsilon_v - \Delta \varepsilon_v^p \right) = I_1^e - \Delta \varepsilon_v^p$$
 éq 6.1.1-2

On peut également exprimer la condition cinématique à partir du tenseur \mathbf{n} (cf paragraphe [$\S 3.2.4$]) :

$$n \cdot \Delta \varepsilon^p = 0$$
 éq 6.1.1-3

En reportant les deux équations traduisant le comportement élastique dans l'expression précédente on trouve :

$$\Delta e^{p} = \frac{1}{2 \mu} (s^{e} - s)$$
 éq 6.1.1-4

$$\Delta \varepsilon_{v}^{p} = \frac{1}{3K} \left(I_{1}^{e} - I_{1} \right)$$
 éq 6.1.1-5

On exprime alors la condition cinématique par la relation suivante :

$$n. \left(\frac{1}{2\mu} (s^e - s) + \frac{1}{3K} \left(\frac{1}{3K} (I_1^e - I_1) I \right) \right) = 0 \text{ avec } n = \frac{\beta \cdot \frac{s}{s_{II}} + I}{\sqrt{\beta^2 + 3}}$$

Soit en combinant les deux relations précédentes où ${\bf n}$ désigne la normale de l'hypersurface de déformation :

$$\frac{1}{2\mu} \frac{\frac{\mathbf{s}}{s_{\text{II}}} + \mathbf{I}}{\sqrt{\beta^2 + 3}} (\mathbf{s}^e - \mathbf{s}) + \frac{1}{9K} (I_1^e - I_1) \cdot \text{Tr}(\mathbf{n}) = 0$$

$$\frac{1}{2\mu} \beta \cdot \frac{\mathbf{s} \cdot (\mathbf{s}^e - \mathbf{s})}{s_{\text{II}}} + \frac{1}{3K} (I_1^e - I_1)$$

Responsable : RAUDE Simon

Date : 17/05/2016 Page : 19/35 Clé : R7.01.15 Révision

ed0a05da1e89

Cette dernière équation définit le point (I_1, \mathbf{s}) comme une projection du point (I_1^e, \mathbf{s}^e) sur le critère. Le point (I_1, s_{II}) sera la projection oblique du point (I_1^e, s_{II}^e) , projection dont la direction varie avec θ . On peut en donner la représentation graphique du chapitre [§6.1.3.3].

La relation précédente peut alors être réécrite comme suit :

$$I_1^e - I_1 = -\beta \frac{3K}{2\mu} \frac{s.(s^e - s)}{s_{II}}$$
 éq 6.1.1-6

On définit alors l'angle de projection $\,\phi_{_{_{\mathcal{S}}}}\,$ par la relation :

$$\cos \varphi_s = \frac{s.(s^e - s)}{s_{II}\sqrt{(s^e - s)(s^e - s)}}$$
 éq 6.1.1-7

En reportant la définition de l'angle $\,\phi_{_{\varsigma}}\,$ dans la relation de projection on trouve la relation :

$$\frac{I_1^e - I_1}{\sqrt{\left(\mathbf{s}^e - \mathbf{s}\right)\left(\mathbf{s}^e - \mathbf{s}\right)}} = -\beta \frac{3K}{2\mu} \cos \phi_s \qquad \text{eq 6.1.1-8}$$

6.1.2 Existence de la projection

Le principe de ce paragraphe est de discuter sur la question de l'existence de l'angle $\,\phi_s\,$ tel que la projection du point $\left(I_1^e,s^e\right)$ appartienne toujours à la surface de charge. Cette problématique apparaît essentielle pour des projections autour du sommet de la surface de charge, autrement dit quand $s \to 0$. On a par définition la relation :

$$\cos \varphi_s = \frac{s.(s^e - s)}{s_{II}\sqrt{(s^e - s)(s^e - s)}} = \frac{s.(s^e - s)}{s_{II}||s^e - s||}$$
 eq 6.1.2-1

En combinant cette équation avec l'expression : $s = s^e - 2 \,\mu \,\Delta \,e^p = s^e - 2 \,\mu \,\Delta \,\lambda \,\tilde{G}$

On obtient:

$$\cos \varphi_s = \frac{s. \tilde{G}}{s_u \tilde{G}_u}$$
 éq 6.1.2-2

On cherche une estimation de $\cos\phi_{\mbox{\tiny c}}$.

Étape 1 : estimation de $\frac{\mathbf{s}.\widetilde{\mathbf{G}}}{s_{\scriptscriptstyle H}}$

On se place dans ce paragraphe sous les conditions : $s \rightarrow 0$ et f = 0.

Par définition de
$$\widetilde{\mathbf{G}}$$
 et de \mathbf{G} on a : $\widetilde{\mathbf{G}} \cdot \mathbf{s} = \left(\mathbf{G} - \frac{\operatorname{Tr}(\mathbf{G})}{3}\mathbf{I}\right) \cdot \mathbf{s} = \mathbf{G} \cdot \mathbf{s} = \left(\frac{\partial f}{\partial \sigma} - \left(\frac{\partial f}{\partial \sigma}\mathbf{n}\right)\mathbf{n}\right) \cdot \mathbf{s}$

Pour des soucis de simplification de calcul on ramène la résolution de f à la résolution de l'équation :

Responsable : RAUDE Simon

Date : 17/05/2016 Page : 20/35 Clé : R7.01.15 Révision

ed0a05da1e89

$$f = \left(\frac{g(\mathbf{s})}{\sigma_c h_c^0}\right)^{\frac{1}{a(\mathbf{y}^p)}} - u(\mathbf{\sigma}, \mathbf{y}^p) = 0 \Rightarrow f_2 = \left(\frac{g(\mathbf{s})}{\sigma_c h_c^0}\right) - u(\mathbf{\sigma}, \mathbf{y}^p)^{a(\mathbf{y}^p)} = 0 \qquad \text{eq 6.1.2.3}$$

Par dérivation de cette nouvelle fonction on trouve la relation :

$$\begin{split} \frac{\partial f_{2}}{\partial \mathbf{\sigma}} &= \left(\frac{1}{\sigma_{c} h_{c}^{0}}\right) \frac{\partial g}{\partial \mathbf{\sigma}} - a \left(\mathbf{y}^{p}\right) u \left(\mathbf{\sigma}, \mathbf{y}^{p}\right)^{a \left(\mathbf{y}^{p}\right) - 1} \frac{\partial u}{\partial \mathbf{\sigma}} = \left(\frac{1}{\sigma_{c} h_{c}^{0}}\right) \mathbf{Q} - a \left(\mathbf{y}^{p}\right) u \left(\mathbf{\sigma}, \mathbf{y}^{p}\right)^{a \left(\mathbf{y}^{p}\right) - 1} \frac{\partial u}{\partial \mathbf{\sigma}} \\ \text{avec} : \frac{\partial u}{\partial \mathbf{\sigma}} &= -\frac{m \left(\mathbf{y}^{p}\right) k \left(\mathbf{y}^{p}\right)}{\sigma_{c}} \left(\frac{1}{\sqrt{6} h_{c}^{0}} \mathbf{Q} + \frac{1}{3} \mathbf{I}\right) \end{split}$$

Qui donne après simplification :

$$\frac{\partial f_2}{\partial \boldsymbol{\sigma}} = A\boldsymbol{Q} + B\boldsymbol{I}$$
 éq 6.1.2.4

Où:

$$A = \frac{1}{\sigma_{c} h_{c}^{0}} \left(1 + \frac{a(\gamma^{p}) m(\gamma^{p}) k(\gamma^{p})}{\sqrt{6}} u(\sigma, \gamma^{p})^{a(\gamma^{p})-1} \right)$$

$$B = \frac{a(\gamma^{p}) m(\gamma^{p}) k(\gamma^{p})}{3 \sigma_{c} h_{c}^{0}} u(\sigma, \gamma^{p})^{a(\gamma^{p})-1}$$
éq 6.1.2.5

On a ainsi :
$$\frac{\partial f_2}{\partial \mathbf{\sigma}}. \mathbf{\textit{n}} = \left(A\mathbf{\textit{Q}} + b\mathbf{\textit{I}}\right) \frac{\beta' \frac{s}{s_{\text{II}}} + I}{\sqrt{\beta'^2 + 3}} = \frac{\beta'}{\sqrt{\beta'^2 + 3}} \frac{A}{s_{\text{II}}} \mathbf{\textit{Q}}. s + \frac{3B}{\sqrt{\beta'^2 + 3}}$$

Et par voie de conséquence :

$$\tilde{\boldsymbol{G}}.\boldsymbol{s} = \left(\frac{\partial f}{\partial \boldsymbol{\sigma}} - \left(\frac{\partial f}{\partial \boldsymbol{\sigma}} \boldsymbol{n}\right) \boldsymbol{n}\right).\boldsymbol{s}$$

$$= \left(A\boldsymbol{Q} + B\boldsymbol{I} - \left(\frac{\beta'}{\sqrt{\beta'^2 + 3}} \frac{A}{s_{II}} \boldsymbol{Q}.\boldsymbol{s} + \frac{3B}{\sqrt{\beta'^2 + 3}}\right) \frac{\beta' \frac{\boldsymbol{s}}{s_{II}} + \boldsymbol{I}}{\sqrt{\beta'^2 + 3}}\right)$$

$$= \frac{3A}{\beta'^2 + 3} \boldsymbol{Q}.\boldsymbol{s} - \frac{3B\beta'}{\beta'^2 + 3} s_{II}$$

D'où l'on déduit que :

$$\frac{\tilde{\mathbf{G}}.\mathbf{s}}{s_{II}} = \frac{3A}{\beta'^2 + 3} \frac{\mathbf{Q}.\mathbf{s}}{s_{II}} - \frac{3B\beta'}{\beta'^2 + 3}$$
 éq 6.1.2.6

Par définition de **Q** on a :

Titre : Loi de comportement de LAIGLE Responsable : RAUDE Simon

Date: 17/05/2016 Page: 21/35 Clé: R7.01.15 Révision

ed0a05da1e89

$$Q.s = \operatorname{dev}\left(\frac{\partial g}{\partial s}\right).s = \frac{1}{h(\theta)^{5}} \left[\left(1 + \frac{Y_{cjs}}{2}\cos(3\theta)\right) \frac{s}{s_{II}} + \frac{Y_{cjs}\sqrt{54}}{6s_{II}^{2}}\operatorname{dev}()\right].s$$

$$= \frac{1}{h(\theta)^{5}} \left(1 + \frac{Y_{cjs}}{2}\cos(3\theta)\right) s_{II}$$

$$= h(\theta)s_{II}$$

On exprime finalement:

$$\frac{\tilde{G}.s}{s_{II}} = \frac{3A}{\beta'^2 + 3} h(\theta) - \frac{3\beta'}{\beta'^2 + 3}$$
 éq 6.1.2.7

Quand $\mathbf{s} \rightarrow \mathbf{0}$ alors $u(\mathbf{\sigma}, \mathbf{y}^p) \rightarrow 0$ et $A \rightarrow \frac{1}{\sigma_c h_c^0}, B \rightarrow 0$

Et donc :

Quand
$$s \to 0$$
 alors $\frac{\tilde{G}.s}{s_{II}} \xrightarrow{s \to 0} \frac{3h(\theta)}{\sigma_c h_c^0(\beta^{2} + 3)}$ éq 6.1.2.8

Étape 2 : estimation de $\widetilde{G}_{{\scriptscriptstyle I}{\scriptscriptstyle I}}$

On se place dans ce paragraphe sous les conditions : $s \rightarrow 0$, $A \rightarrow \frac{1}{\sigma_{b}h_{a}^{0}}$, $b \rightarrow 0$

$$\tilde{\mathbf{G}} = \left(\frac{\partial f}{\partial \mathbf{\sigma}} - \left(\frac{\partial f}{\partial \mathbf{\sigma}} \mathbf{n}\right) \mathbf{n}\right)$$

$$\left(\frac{1}{\sigma_{c} h_{c}^{0}} \mathbf{Q} + B \mathbf{I} - \left(\frac{\beta'}{\sqrt{\beta'^{2} + 3}} \frac{1}{\sigma_{c} h_{c}^{0} s_{II}} \mathbf{Q} \cdot \mathbf{s} + \frac{3B}{\sqrt{\beta'^{2} + 3}}\right) \frac{\beta' \frac{\mathbf{s}}{s_{II}} + \mathbf{I}}{\sqrt{\beta'^{2} + 3}}\right)$$

$$\frac{1}{\sigma_{c} h_{c}^{0}} \mathbf{Q} - \frac{\beta'^{2} h(\theta)}{(\beta'^{2} + 3)\sigma_{c} h_{c}^{0} s_{II}} \mathbf{s}$$

$$\begin{split} \tilde{G}_{\text{II}}^{2} \tilde{\boldsymbol{G}} \cdot \tilde{\boldsymbol{G}} &= \frac{Q_{\text{II}}^{2}}{\left(\sigma_{c} h_{c}^{0}\right)^{2}} + \frac{\beta^{14} h^{2} \left(\theta\right) s_{\text{II}}^{2}}{\left(\beta^{12} + 3\right)^{2} \left(\sigma_{c} h_{c}^{0}\right)_{2} s_{\text{II}}^{2}} - 2 \frac{\beta^{12} h^{2} \left(\theta\right)}{\left(\beta^{12} + 3\right) \left(\sigma_{c} h_{c}^{0}\right)^{2}} \\ &= \frac{1}{\sigma_{c} h_{c}^{02}} \left(Q_{\text{II}}^{2} - \frac{\beta^{12} \left(\beta^{12} + 6\right) h^{2} \left(\theta\right)}{\left(\beta^{12} + 3\right)^{2}}\right) \end{split}$$

On démontre [Annexe 2] que :

$$Q_{\text{II}}^{2} = \frac{1}{h(\theta)^{10}} \left[\left(1 + \frac{Y_{\text{cjs}}}{2} \cos(3\theta) \right)_{2} + \frac{Y_{\text{cjs}}^{2}}{4} + Y_{\text{cjs}} \cos(3\theta) \left(1 + \frac{Y_{\text{cjs}}}{2} \cos(3\theta) \right) \right]$$
 \(\text{ \text{eq 6.1.2.9}}

Responsable : RAUDE Simon

Date : 17/05/2016 Page : 22/35 Clé : R7.01.15 Révision

ed0a05da1e89

et donc comme $h(\theta) = (1 + \cos(3\theta))^{1/6}$:

$$\begin{split} \tilde{G}_{\text{II}}^{2} &= \frac{1}{\sigma_{c} h_{c}^{22}} \left[\frac{1}{h(\theta)^{10}} \left[\left(\frac{1}{2} + \frac{h(\theta)^{6}}{2} \right)^{2} + \frac{\gamma_{\text{cjs}}^{2}}{4} + \left(h(\theta)^{6} - 1 \right) \left(\frac{1}{2} + \frac{h(\theta)^{6}}{2} \right) \right] - \frac{\beta^{2} \left(\beta^{2} + 6 \right) h^{2}(\theta)}{\left(\beta^{2} + 3 \right)^{2}} \right] \\ \tilde{G}_{\text{II}}^{\text{II}} &= \frac{1}{\left(\sigma_{c} h_{c}^{0} \right)^{2}} \left[\frac{3h(\theta)^{2}}{4} + \frac{1}{2h(\theta)^{4}} + \frac{\gamma_{\text{cjs}}^{2} - 1}{4h(\theta)^{10}} - \frac{\beta^{2} \left(\beta^{2} + 6 \right) h^{2}(\theta)}{\beta^{2} + 3^{2}} \right] \\ \tilde{G}_{\text{II}}^{2} &= \left(\frac{h(\theta)}{\sigma_{c} h_{c}^{0}} \right)^{2} \left[\frac{1}{2h(\theta)^{6}} + \frac{\gamma_{\text{cjs}}^{2} - 1}{4h(\theta)^{12}} + \left(\frac{3}{\beta^{2} + 3} \right)^{2} - \frac{1}{4} \right] \end{split}$$

Et par conséquent :

$$\tilde{G}_{II} = \left(\frac{h(\theta)}{\sigma_c h_c^0}\right) \sqrt{\left(\frac{3}{\beta'^2 + 3}\right)^2 - \frac{1}{4} + \frac{1}{2h(\theta)^6} + \frac{\gamma_{cjs}^2 - 1}{4h(\theta)^{12}}}$$
 éq 6.1.2.10

Étape 3 : estimation de $\cos(\phi_s)$

On déduit des deux paragraphes précédent l'expression de l'angle de projection suivante : Quand $s \rightarrow 0$ alors :

$$\cos \varphi_{s} tward \frac{3}{\left(\beta'^{2}+3\right)\sqrt{\frac{3}{\beta'^{2}+3}^{2}-\frac{1}{4}+\frac{1}{2\left(1+\gamma_{cjs}\cos\left(3\theta\right)\right)}+\frac{\gamma_{cjs}^{2}-1}{4\left(1+\gamma_{cjs}\cos\left(3\theta\right)\right)^{2}}} \qquad \text{eq 6.1.2.11}$$

On remarque que $\,\phi_s\,$ dépend de l'angle de Lode $\,\theta\,$, et que par voie de conséquence la limite de l'angle de projection quand $\,s\!\to\!0\,$ n'existe pas. Cependant un encadrement de $\cos\phi_s\,$ nous permet de déterminer une zone de projection au sommet à priori (démonstration de l'encadrement en [Annexe 3]) :

$$\cos \varphi_{s}^{\min} \leq \cos \varphi_{s} \leq \cos \varphi_{s}^{\max}$$

$$\cos \varphi_{s}^{\min} = \frac{3}{\left(\beta'^{2} + 3\right)\sqrt{\left(\frac{3}{\beta'^{2} + 3}\right)^{2} + \frac{{\gamma_{cjs}}^{2}}{4\left(1 - {\gamma_{cjs}}^{2}\right)}}}$$

$$\cos \varphi_{s}^{\max} = 1$$

$$\oint \cos \varphi_{s}^{\max} = 1$$

$$\oint \exp \left(\frac{1}{2} + 3\right) \left(\frac{3}{\beta'^{2} + 3}\right)^{2} + \frac{{\gamma_{cjs}}^{2}}{4\left(1 - {\gamma_{cjs}}^{2}\right)}$$

Responsable : RAUDE Simon

Date : 17/05/2016 Page : 23/35 Clé : R7.01.15 Révision

ed0a05da1e89

6.1.3 Règles de projection

On appelle I_{\perp}^0 l'intersection du domaine de réversibilité avec l'axe hydrostatique. On obtient :

$$I_1^0 = \frac{3\sigma_c \cdot s(\gamma_p)}{m(\gamma_p)}$$
 éq 6.1.3-1

En reportant I_1^0 et l'encadrement de $\cos \varphi_s$, quand $s \to 0$, dans la relation $\frac{I_1^e - I_1}{\sqrt{(s^e - s)(s^e - s)}} = -\beta \cdot \frac{3K}{2\mu} \cos \varphi_s$, on en déduit les règles de projection suivantes en fonction du

signe du paramètre de dilatance $\ \beta'$, et pour des valeurs de $\ I_1^e$ et de $\ s_{_{\rm II}}^e$ données.

6.1.3.1 Cas où le paramètre de dilatance est négatif

Si
$$\frac{I_1^e - I_1^0}{s_{II}^e} < -\beta' \frac{3K}{2\mu} \cos \varphi_s^{min}$$
 alors la projection sera régulière ;

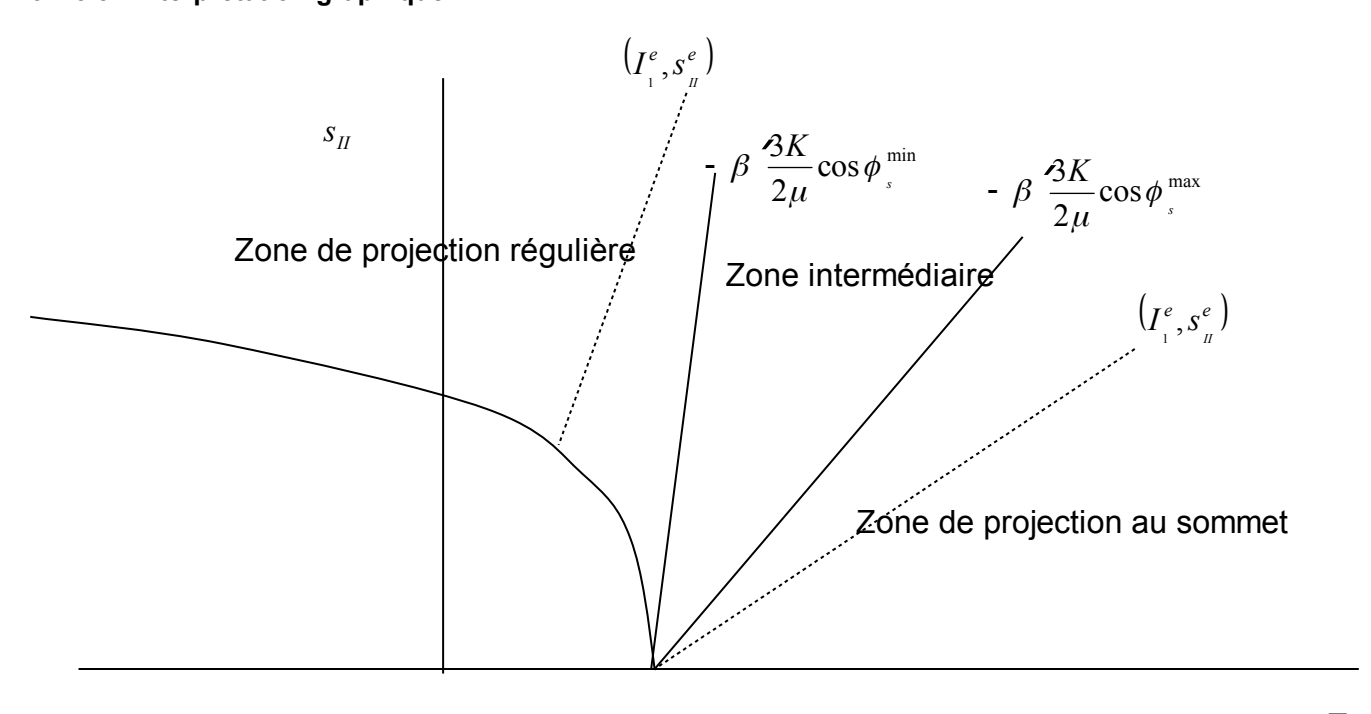
Si
$$\frac{I_1^e - I_1^0}{s_{II}^e} > -\beta \frac{3K}{2\mu} \cos \varphi_s^{max}$$
 alors la projection sera au sommet.

6.1.3.2 Cas où le paramètre de dilatance est positif

Si
$$\frac{I_1^e - I_1^0}{s_{II}^e} < -\beta' \frac{3K}{2\mu} \cos \phi_s^{max}$$
 alors la projection sera régulière ;

Si
$$\frac{I_1^e - I_1^0}{s_{II}^e} > -\beta \frac{3K}{2\mu} \cos \varphi_s^{min}$$
 alors la projection sera au sommet.

6.1.3.3 Interprétation graphique



Date: 17/05/2016 Page: 24/35 Responsable: RAUDE Simon Clé: R7.01.15 Révision

ed0a05da1e89

6.1.3.4 Équations d'écoulement

Dans la zone intermédiaire on résout les équations correspondant à une projection régulière. Si cette résolution ne donne pas de solution on résout alors les équations d'écoulement de la projection au sommet.

Dans le cas de la projection au sommet on a les relations :

$$s = 0$$
 éq 6.1.3.4-1

$$I_1^0 = \frac{3 \sigma_c \cdot s(\gamma^p)}{m(\gamma^p)}$$
 éq 6.1.3.4-2

$$\Delta \gamma^{p} = \frac{1}{2 \mu} \sqrt{\frac{2}{3}} s_{II}^{e}$$
 éq 6.1.3.4-3

6.2 Redécoupage local du pas de temps

Comme pour d'autres relations de comportement (le modèle CJS par exemple) on a ajouté la possibilité pour le modèle de LAIGLE de redécouper localement (aux points de Gauss) le pas de temps afin de faciliter l'intégration numérique. Cette possibilité est gérée par l'opérande ITER INTE PAS du mot-clé CONVERGENCE de l'opérateur STAT NON LINE. Si la valeur de ITER INTE PAS (itepas) vaut 0,1 ou -1 il n'y a aucun redécoupage (remarque : 0 est la valeur par défaut). Si itepas est positif le redécoupage est systématique, s'il est négatif le redécoupage est pris en compte uniquement en cas de non convergence numérique.

Le redécoupage consiste à réaliser l'intégration du mécanisme plastique avec un incrément de déformation dont les composantes correspondent aux composantes de l'incrément de déformation initial divisées par la valeur absolue de itepas (cf doc STAT NON LINE [U4.51.03]).

Titre : Loi de comportement de LAIGLE Responsable : RAUDE Simon Date : 17/05/2016 Page : 25/35 Clé : R7.01.15 Révision

ed0a05da1e89

7 Les variables internes

Pour la mise en œuvre informatique nous avons retenu les 4 variables internes suivantes :

7.1 V1 : la déformation déviatoire plastique cumulée

La variable d'écrouissage y^p est proportionnelle au deuxième invariant du tenseur des déformations déviatoires.

$$\gamma^{p} = \sqrt{\frac{2}{3} e_{ij}^{p} e_{ij}^{p}}$$
avec
$$e_{ij}^{p} = \varepsilon_{ij}^{p} - \frac{\operatorname{tr}\left(\varepsilon_{ij}^{p}\right)}{3} \delta_{ij}$$

7.2 V2 : la déformation volumique plastique cumulée

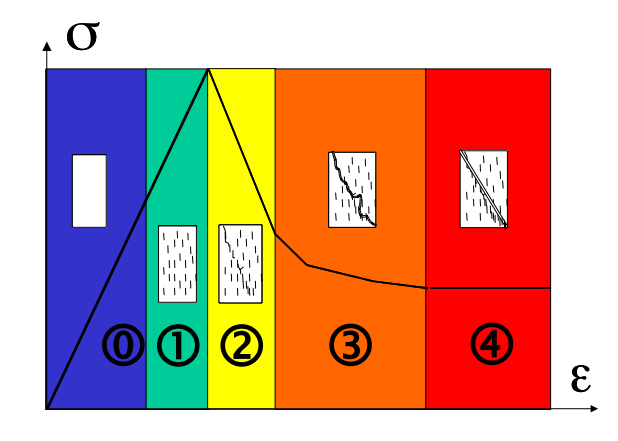
La déformation volumique plastique est définie par la relation présentée au paragraphe [§3.2.4] sur la loi d'évolution du mécanisme plastique : $\dot{\epsilon}_{..}^{p} = \dot{\lambda} G$

7.3 V3: les domaines de comportement de la roche

Cinq domaines de comportement, numérotés de 0 à 4 (cf. figure), sont identifiés pour permettre d'avoir une représentation relativement simple de l'état d'endommagement de la roche, depuis la roche intacte jusqu'à la roche à l'état résiduel. Ces domaines sont fonction de la déformation déviatoire plastique cumulée γ^p et de l'état de contrainte. Chaque incrément de numéro de domaine définit le passage dans un domaine d'endommagement supérieur.

- Si le déviateur est inférieur à 70% du déviateur de pic, alors le matériau est dans le domaine 0 :
- · Sinon:
 - Si $y^p = 0$ alors le matériau est dans le domaine 1 ;
 - 1) Si $0 < y^p < y^e$ alors le matériau est dans le domaine 2 ;
 - Si $\gamma_{e} < \gamma^{p} < \gamma_{ult}$ alors le matériau est dans le domaine 3 ;
 - Si $\gamma^p > \gamma_{ult}$ alors le matériau est dans le domaine 4.

D om aine	Etat de la roche
0	Intacte
1	Endom magement
	pré-pic
2	Endom magement
	post-pic
3	Fissurée
4	Fracturée



Responsable : RAUDE Simon

Date : 17/05/2016 Page : 26/35 Clé : R7.01.15 Révision

ed0a05da1e89

7.4 V4: l'état de plastification

C'est un indicateur interne au *Code_Aster*. Il vaut 0 si le point de gauss est en charge élastique ou en décharge, et vaut 1 si le point de gauss est en charge plastique.

8 Présentation détaillée de l'algorithme

On retient une formulation implicite par rapport au critère et explicite par rapport à la direction d'écoulement : le critère devra être vérifié à la fin du pas, alors que la direction d'écoulement sera celle calculée au début du pas (et donc la valeur de la dilatance sera également celle calculée au début du pas de temps).

On se place en un point matériel, et on considère que sont donnés :

- Le tenseur d'accroissement des déformations $\Delta \epsilon$ d'où l'on déduit Δe et ; $\Delta \epsilon$,
- Les contraintes au début du pas d σ 'où l'on déduit s- et I_1 ;
- Les valeurs des variables internes au début du pas de temps (seule la déformation plastique cumulée χ^p est nécessaire).

Il s'agit de calculer :

- Les contraintes en fin de pas de temps σ ;
- Les variables internes en fin du pas de temps (χ^p , ϵ^p_{χ} , les domaines de comportement) ;
- Le comportement tangent en fin de pas : $\frac{\partial \mathbf{\sigma}}{\partial \mathbf{\epsilon}}$

8.1 Calcul de la solution élastique

$$\Delta \varepsilon^{e} = \Delta \varepsilon^{-} - \alpha \Delta T$$

$$s^{e} = s^{-} + 2 \mu \Delta e$$

$$I_{i}^{e} = I_{1} + 3K\Delta \varepsilon$$

8.2 Calcul du critère élastique

Calcul de
$$g^e = s_{II}^e h \left(\theta^e\right)$$

Calcul de,
$$m = m(\gamma^p)$$
 $s = s(\gamma^p)$, $a = a(\gamma^p)$ et $k = k(a)$

Calcul de
$$u^e = -\frac{m^2 k^2}{\sqrt{6} \sigma_c} \frac{g^e}{h_c^0} - \frac{m^2 k^2}{3 \sigma_c} I_1^e + s^2 . k^2$$

Calcul de
$$f^e = \left(\frac{g^e}{\sigma_c h_c^0}\right)^{\frac{1}{a}} - u^e$$

Titre : Loi de comportement de LAIGLE Responsable : RAUDE Simon Date : 17/05/2016 Page : 27/35 Clé : R7.01.15 Révision

ed0a05da1e89

8.3 Algorithme

Si $f^e > 0$

Calcul de

$$I_{1}^{0-} = \frac{3\sigma_{c}.s^{-}}{m^{-}}; \quad g^{-} = g(s^{-})$$

$$\Phi_{0}^{-} = \Phi_{0}(m^{-}, s^{-}, a^{-}); \quad C_{0}^{-} = C_{0}(m^{-}, s^{-}, a^{-}); \quad \sigma_{0}^{-} = \sigma_{t0}(\Phi_{0}^{-}, C_{0}^{-})$$

$$\alpha'' = \alpha'(I_{1}^{-}, g^{-}, \sigma_{t0}^{-}); \quad \psi^{-} = \psi(\alpha''); \quad \beta'' = \beta'(\psi^{-})$$

Calcul à priori de la projection au sommet

$$s=0$$
; Calcul de $\gamma^p = \gamma^p + \frac{1}{2\mu} \sqrt{\frac{2}{3}} s_{II}^e = \gamma^{p^{\text{sommet}}}$ et de $I_1 = \frac{3\sigma_c . s(\gamma^p)}{m(\gamma^p)} = I_1^{\text{sommet}}$.

Si
$$\begin{cases} \left(I_{1}^{e}-I_{1}^{\text{sommet}}\right) < -\frac{3K}{2\mu}\beta's_{n}^{e}\cos\varphi_{s}^{\text{max}}; \text{ si }\beta'' < 0 \\ \left(I_{1}^{e}-I_{1}^{\text{sommet}}\right) < -\frac{3K}{2\mu}\beta's_{n}^{e}\cos\varphi_{s}^{\text{min}}; \text{ si }\beta'' \ge 0 \end{cases}$$

La projection au sommet n'est pas retenue à priori. On calcule la solution régulière.

$$\mathbf{Q}^{-} = \begin{bmatrix} \mathbf{Q}(\mathbf{\sigma}^{-}) \sin \mathbf{\sigma}^{-} \neq 0 & \mathbf{n}^{f} = \begin{bmatrix} \mathbf{n}(\mathbf{\beta}^{-}, \mathbf{\sigma}^{-}) \sin \mathbf{\sigma}^{-} \neq 0 & \mathbf{G}^{f} = \begin{bmatrix} \mathbf{G}(\mathbf{\beta}^{-}, \mathbf{\sigma}^{-}) \sin \mathbf{\sigma}^{-} \neq 0 \\ \mathbf{n}(\mathbf{\beta}^{-}, \mathbf{\sigma}^{e}) \sin \mathbf{\sigma}^{-} = 0 & \mathbf{G}^{f} = \begin{bmatrix} \mathbf{G}(\mathbf{\beta}^{-}, \mathbf{\sigma}^{-}) \sin \mathbf{\sigma}^{-} \neq 0 \\ \mathbf{G}(\mathbf{\beta}^{-}, \mathbf{\sigma}^{e}) \sin \mathbf{\sigma}^{-} = 0 & \mathbf{G}^{f} = \begin{bmatrix} \mathbf{G}(\mathbf{\beta}^{-}, \mathbf{\sigma}^{-}) \sin \mathbf{\sigma}^{-} \neq 0 \\ \mathbf{G}(\mathbf{\beta}^{-}, \mathbf{\sigma}^{e}) \sin \mathbf{\sigma}^{-} = 0 & \mathbf{G}^{f} = \begin{bmatrix} \mathbf{G}(\mathbf{\beta}^{-}, \mathbf{\sigma}^{-}) \sin \mathbf{\sigma}^{-} \neq 0 \\ \mathbf{G}(\mathbf{\beta}^{-}, \mathbf{\sigma}^{e}) \sin \mathbf{\sigma}^{-} = 0 & \mathbf{G}^{f} = \begin{bmatrix} \mathbf{G}(\mathbf{\beta}^{-}, \mathbf{\sigma}^{-}) \sin \mathbf{\sigma}^{-} \neq 0 \\ \mathbf{G}(\mathbf{\beta}^{-}, \mathbf{\sigma}^{e}) \sin \mathbf{\sigma}^{-} = 0 & \mathbf{G}^{f} = \begin{bmatrix} \mathbf{G}(\mathbf{\beta}^{-}, \mathbf{\sigma}^{-}) \sin \mathbf{\sigma}^{-} \neq 0 \\ \mathbf{G}(\mathbf{\beta}^{-}, \mathbf{\sigma}^{e}) \sin \mathbf{\sigma}^{-} = 0 & \mathbf{G}^{f} = \begin{bmatrix} \mathbf{G}(\mathbf{\beta}^{-}, \mathbf{\sigma}^{-}) \sin \mathbf{\sigma}^{-} \neq 0 \\ \mathbf{G}(\mathbf{\beta}^{-}, \mathbf{\sigma}^{e}) \sin \mathbf{\sigma}^{-} = 0 & \mathbf{G}^{f} = \begin{bmatrix} \mathbf{G}(\mathbf{\beta}^{-}, \mathbf{\sigma}^{-}) \sin \mathbf{\sigma}^{-} \neq 0 \\ \mathbf{G}(\mathbf{\beta}^{-}, \mathbf{\sigma}^{e}) \sin \mathbf{\sigma}^{-} = 0 & \mathbf{G}^{f} = \begin{bmatrix} \mathbf{G}(\mathbf{\beta}^{-}, \mathbf{\sigma}^{-}) \sin \mathbf{\sigma}^{-} \neq 0 \\ \mathbf{G}(\mathbf{\beta}^{-}, \mathbf{\sigma}^{e}) \sin \mathbf{\sigma}^{-} = 0 & \mathbf{G}^{f} = \begin{bmatrix} \mathbf{G}(\mathbf{\beta}^{-}, \mathbf{\sigma}^{-}) \sin \mathbf{\sigma}^{-} \neq 0 \\ \mathbf{G}(\mathbf{\beta}^{-}, \mathbf{\sigma}^{e}) \sin \mathbf{\sigma}^{-} = 0 & \mathbf{G}^{f} = \begin{bmatrix} \mathbf{G}(\mathbf{\beta}^{-}, \mathbf{\sigma}^{e}) \sin \mathbf{\sigma}^{-} = 0 \\ \mathbf{G}(\mathbf{\beta}^{-}, \mathbf{\sigma}^{e}) \sin \mathbf{\sigma}^{-} = 0 & \mathbf{G}^{f} = \begin{bmatrix} \mathbf{G}(\mathbf{\beta}^{-}, \mathbf{\sigma}^{e}) \sin \mathbf{\sigma}^{-} = 0 \\ \mathbf{G}(\mathbf{\beta}^{-}, \mathbf{\sigma}^{e}) \sin \mathbf{\sigma}^{-} = 0 & \mathbf{G}^{f} = \begin{bmatrix} \mathbf{G}(\mathbf{\beta}^{-}, \mathbf{\sigma}^{e}) \sin \mathbf{\sigma}^{-} = 0 \\ \mathbf{G}(\mathbf{\beta}^{-}, \mathbf{\sigma}^{e}) \sin \mathbf{\sigma}^{-} = 0 & \mathbf{G}^{f} = \begin{bmatrix} \mathbf{G}(\mathbf{\beta}^{-}, \mathbf{\sigma}^{e}) \sin \mathbf{\sigma}^{-} = 0 \\ \mathbf{G}(\mathbf{\beta}^{-}, \mathbf{\sigma}^{e}) \sin \mathbf{\sigma}^{-} = 0 & \mathbf{G}^{f} = \begin{bmatrix} \mathbf{G}(\mathbf{\beta}^{-}, \mathbf{\sigma}^{e}) \sin \mathbf{\sigma}^{-} = 0 \\ \mathbf{G}(\mathbf{\beta}^{-}, \mathbf{\sigma}^{e}) \sin \mathbf{\sigma}^{-} = 0 & \mathbf{G}^{f} = \begin{bmatrix} \mathbf{G}(\mathbf{\beta}^{-}, \mathbf{\sigma}^{e}) \sin \mathbf{\sigma}^{-} = 0 \\ \mathbf{G}(\mathbf{\beta}^{-}, \mathbf{\sigma}^{e}) \sin \mathbf{\sigma}^{-} = 0 & \mathbf{G}^{f} = \mathbf{G}(\mathbf{\beta}^{-}, \mathbf{\sigma}^{e}) \sin \mathbf{\sigma}^{-} = 0 \end{bmatrix} \end{bmatrix}$$

Si
$$\gamma^p = 0$$

Initialisation
$$\Delta \lambda^0 = 0 ; \gamma^{p^0} = \gamma^{p^1} ; \mathbf{s^0} = \mathbf{s^e} ; I_1^0 = I_1^e ; f^0 = f^e$$

$$\Delta \gamma^{p^1} = \frac{1}{10} \max |\Delta \varepsilon_{ij}^e|$$
 Et
$$\delta \lambda^{p^1} = \frac{\Delta \gamma^{p^1}}{\tilde{G}_{II}^{f_b}} \sqrt{\frac{2}{3}}$$

Initialisation $\Delta \lambda^0 = 0$; $\chi^{p^0} = \chi^p$; $\mathbf{s^0} = \mathbf{s^e}$; $I_1^0 = I_1^e$; $f^0 = f^e$

Sinon

Calcul de l'accroissement du multiplicateur plastique $\Delta \lambda$ par Newton :

$$\frac{\partial u}{\partial \sigma}^{0} = \frac{\partial u}{\partial \sigma}^{0} = -\frac{m^{2}}{\sqrt{6}\sigma_{c}} \frac{k^{2}}{h_{c}^{0}} \mathbf{Q}^{2} - k^{2} \frac{m^{2}}{3\sigma_{c}} \mathbf{I}$$

$$\frac{\partial u}{\partial \gamma^{p}}^{0} = -\frac{1}{\sqrt{6}\sigma_{c}} \frac{\partial (km)}{\gamma^{p}} (\gamma^{p}) \frac{g^{e}}{h_{c}^{0}} - \frac{1}{3\sigma_{c}} \frac{\partial (km)}{\partial \gamma^{p}} (\gamma^{p}) \mathbf{I}_{1}^{e} + \frac{\partial (ks)}{\partial \gamma^{p}} (\gamma^{p})$$

$$\frac{\partial f^{0}}{\partial \sigma} = \frac{1}{a^{2}} \left(\frac{1}{\sigma_{c}h_{c}^{0}} \right)^{\frac{1}{a}} (g^{e}) \frac{1 - a^{2}}{a^{2}} \mathbf{Q}^{2} - \frac{\partial u}{\partial \sigma}^{0} \neq \frac{\partial f}{\partial \sigma}$$

$$\frac{\partial f^{0}}{\partial \gamma^{p}} = -\left(\frac{1}{a^{2}} \right)^{2} \left(\frac{g^{e}}{\sigma_{c}h_{c}^{0}} \right)^{\frac{1}{a}} \log \left(\frac{g^{e}}{\sigma_{c}h_{c}^{0}} \right) \frac{\partial a}{\partial \gamma^{p}} (\gamma^{p}) - \frac{\partial u^{0}}{\partial \gamma^{p}} \neq \frac{\partial f^{2}}{\partial \gamma^{p}}$$

Responsable : RAUDE Simon

Date : 17/05/2016 Page : 28/35 Clé : R7.01.15 Révision

ed0a05da1e89

$$\frac{\partial f^{0^{*}}}{\partial \Delta \lambda} = -\frac{\partial f^{0}}{\partial \sigma} \cdot \left(2 \mu \tilde{\boldsymbol{G}}^{f} + KG^{f} \boldsymbol{I}\right) + \frac{\partial f^{0}}{\partial \gamma^{p}} \sqrt{\frac{2}{3}} \tilde{G}_{II}^{f}$$

Responsable : RAUDE Simon

ed0a05da1e89

Boucle itérations n

$$\begin{vmatrix} \frac{\partial f^n}{\partial \Delta} \delta \lambda^{n+1} = -f^n \\ \Delta \lambda^{n+1} = \Delta \lambda^n + \delta \lambda^{n+1} \\ \Delta \gamma^{p^{-1}} = \Delta \gamma^{n+1} \sqrt{\frac{2}{3}} \tilde{G}_{\Pi}^{f}; \quad \Delta \varepsilon_{v}^{p} = \Delta \lambda^{n+1} G^{f} \\ s^{n+1} = s^{e} - 2\mu \Delta \lambda^{p^{-1}} \tilde{G}^{f}; \quad I_{1}^{n+1} = I_{1}^{e} - 3K \Delta \lambda^{p^{-1}} G^{f} \\ \text{Si } \Delta \gamma^{p^{-1}} < 0 \quad \text{Non convergence}$$
 Calcul Q^{n+1}
$$g^{n+1} = g(s^{n+1}); \quad m^{n+1} = m(\gamma^{p^{-1}}); \quad s^{n+1} = s(\gamma^{p^{-1}}); \quad s^{n+1} = a(\gamma^{p^{-1}}); \quad k^{n+1} = k(a^{n+1})$$

$$u_{n+1} = -\frac{m^{n+1}k^{n+1}}{\sqrt{6}\sigma_{c}} \frac{g^{n+1}}{h_{c}^{0}} - \frac{m^{n+1}k^{n+1}}{3\sigma_{c}} I_{1}^{n+1} + s^{n+1} \cdot k^{n+1}$$

$$f^{n+1} = \left(\frac{g^{n+1}}{\sigma_{c}h_{c}^{0}}\right)^{\frac{1}{a^{-1}}} - u^{n+1}$$

$$\frac{\partial u}{\partial \sigma} = -\frac{1}{\sqrt{6}\sigma_{c}} \frac{\partial (km)}{\partial \gamma^{p}} (\gamma^{p^{-1}}) \frac{g^{n+1}}{h_{c}^{0}} - \frac{1}{3\sigma_{c}} \frac{\partial (km)}{\partial \gamma^{p}} (\gamma^{p^{-1}}) I_{1}^{n+1} + \frac{\partial (ks)}{\partial \gamma^{p}} (\gamma^{p^{-1}})$$

$$\frac{\partial f^{n+1}}{\partial \sigma} = -\frac{1}{a^{n+1}} \left(\frac{A}{\sigma_{c}h_{c}^{0}}\right)^{\frac{1}{a^{-1}}} (g^{n+1})^{\frac{1}{a^{-1}}} Q^{n+1} - \frac{\partial u}{\partial \sigma} Q^{n+1} - \frac{\partial u}{\partial \sigma}$$

Non convergence

Sinon

Sinoh

Responsable: RAUDE Simon

Date : 17/05/2016 Page : 30/35 Clé : R7.01.15 Révision

ed0a05da1e89

Convergence

Si FULL_MECA

$$\frac{\partial \mathbf{\sigma}^{n+1}}{\partial \mathbf{\epsilon}} = \mathbf{H} + \frac{\mathbf{H} \cdot \mathbf{G}^{f} \cdot \left(\frac{\partial f^{n+1}}{\partial \mathbf{\sigma}}\right)_{T} \mathbf{H}}{\sqrt{\frac{2}{3}} \frac{\partial f^{n+1}}{\partial \mathbf{\gamma}^{p}} \tilde{\mathbf{G}}_{II}^{f} - \left(\frac{\partial f^{n+1}}{\partial \mathbf{\sigma}}\right)^{T} \mathbf{H} \mathbf{G}^{f}}$$

Symétrisation mécanique

$$\frac{\partial \mathbf{\sigma}_{\text{sym}}^{n+1}}{\partial \mathbf{\varepsilon}} = \frac{1}{2} \left(\frac{\partial \mathbf{\sigma}^{n+1}}{\partial \mathbf{\varepsilon}} + \frac{\partial \mathbf{\sigma}^{n+1^{T}}}{\partial \mathbf{\varepsilon}} \right)$$

9 Variante sur l'expression du critère de plasticité

Dans cette proposition variante, on exprime le critère de plasticité en fonction du premier invariant et du déviateur des contraintes, par un recalage sur un triaxial en compression et en extension par les relations suivantes :

9.1 Formulation générale

$$f = \left(\frac{s_{II}}{\sigma_c}\right)^{\frac{1}{a(\gamma^p)}} - u(\sigma, \gamma^p) \le 0$$
 éq 9.1-1

Où l'expression de $u(\sigma, \gamma^p)$ est :

Si $\gamma_{cjs} \neq 0$

$$u\left(\mathbf{\sigma},\mathbf{\gamma}^{p}\right) = -\frac{m\left(\mathbf{\gamma}^{p}\right)k\left(\mathbf{\gamma}_{p}\right)}{\sqrt{6}\,\sigma_{c}}\left(\frac{h\left(\theta\right) + h_{t}^{0} - 2h_{c}^{0}}{h_{t}^{0} - h_{c}^{0}}\right) - \frac{m\left(\mathbf{\gamma}^{p}\right)k\left(\mathbf{\gamma}^{p}\right)}{3\,\sigma_{c}}I_{1} + s\left(\mathbf{\gamma}^{p}\right).k\left(\mathbf{\gamma}^{p}\right) \tag{eq 9.1-2}$$

Si $\gamma_{cis} = 0$

$$u\left(\mathbf{\sigma}, \mathbf{\gamma}^{p}\right) = -\frac{m\left(\mathbf{\gamma}^{p}\right)k\left(\mathbf{\gamma}_{p}\right)}{\sqrt{6}\,\sigma_{c}} \left(\frac{3}{2} + \frac{1}{2}\cos(3\,\theta)\right) - \frac{m\left(\mathbf{\gamma}^{p}\right)k\left(\mathbf{\gamma}^{p}\right)}{3\,\sigma_{c}} I_{1} + s\left(\mathbf{\gamma}^{p}\right).k\left(\mathbf{\gamma}^{p}\right)$$
 éq 9.1-3

9.2 Allure des seuils

On se place dans le cas où $\gamma_{\rm cjs}=0.7$; m=21; s=1; a=1, puis on trace l'allure des seuils dans le plan perpendiculaire à l'axe hydrostatique (dit plan $_{\rm T}$), on normalise par rapport à et on σ_c considère les deux valeurs de confinements telles que $I_1=0$ [Figure 9.2-a] et $I_1=-3\,\sigma_c$ [Figure 9.2-b].

Responsable: RAUDE Simon

Date: 17/05/2016 Page: 31/35 Révision Clé: R7.01.15

ed0a05da1e89

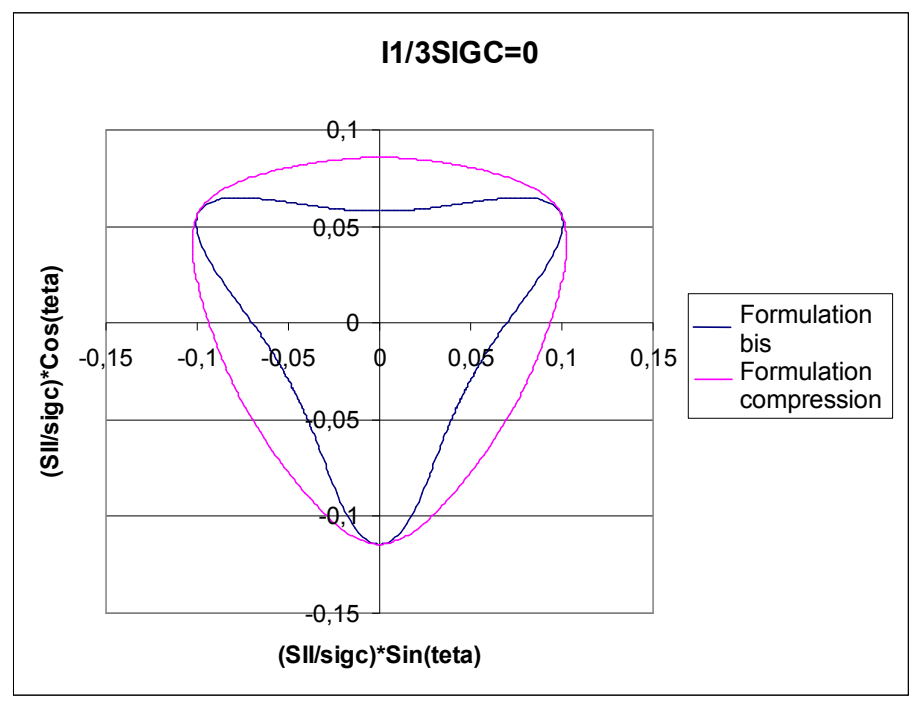


Figure 9.2-a : Allure des seuils pour un confinement nul

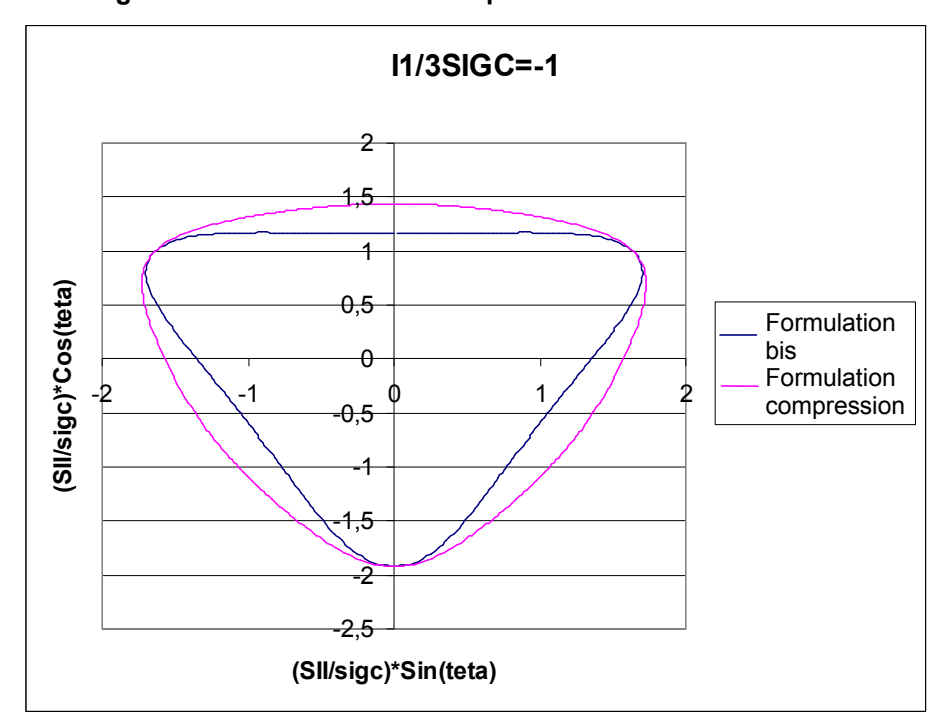


Figure 9.2-b : Allure des seuils pour un confinement en compression nul

On constate dans ces représentations graphiques que la formulation bis a l'inconvénient d'avoir une allure non convexe dans le plan $\,\pi\,$.

Responsable : RAUDE Simon

Date : 17/05/2016 Page : 32/35 Clé : R7.01.15 Révision

ed0a05da1e89

10 Fonctionnalités et vérification

La loi de comportement peut être définie par le mot-clé LAIGLE (commande STAT_NON_LINE, mot clé facteur COMPORTEMENT). Elle est associée au matériau LAIGLE (commande DEFI MATERIAU).

La loi LAIGLE est vérifiée par les cas tests suivants :

SSNV158	[V6.04.158]	Essai triaxial drainé avec le modèle de Laigle
WTNV101	[V7.31.101]	Essai triaxial non drainé avec le modèle de Laigle et avec couplage hydraulique

11 Bibliographie

- [1] F. LAIGLE : Aval du cycle Ouvrages souterrains Modèles rhéologiques pour l'analyse du comportement mécanique des roches. Note EDF-CIH IH.AVCY.01.003.A (2001).
- [2] Ph. KOLMAYER: Aval du cycle Ouvrages souterrains Écriture de la loi de comportement du CIH sur une base du modèle Cambou-Jafari-Sidoroff (CJS) connue du *Code_Aster*. Note EDF-CIH.IH.AVCY.38.005.A (2002).
- [3] C. CHAVANT : Spécifications pour l'introduction d'un modèle de roche dans le *Code_Aster*. Note EDF-I74/E27131.
- [4] C. CHAVANT, Ph. AUBERT : Loi CJS en géomécanique. Document de Référence du Code Aster R7.01.13.
- [5] Ph. KOLMAYER, R. FERNANDES, C. CHAVANT, 2004: « Numerical implementation of a new rheological law for argilites", Applied Clay Science 26, 499-510.

12 Description des versions du document

Version Aster	Auteur(s) Organisme(s)	Description des modifications
7,4	R.Fernandes, C.Chavant EDF- R&D/AMA	Texte initial

Responsable: RAUDE Simon

Date: 17/05/2016 Page: 33/35 Clé: R7.01.15 Révision

ed0a05da1e89

Annexe 1Recalage du critère sur le triaxial en compression

En prenant l'expression générale du critère sous les conditions d'un triaxial en compression, on trouve :

$$\begin{split} &f = \left(\frac{g\left(\frac{s}{\sigma_{c}}\right)^{\frac{1}{a\left[\gamma'\right]}}}{\sigma_{c}}\right)^{\frac{1}{a\left[\gamma'\right]}} - \left(-\frac{m\left(\gamma''\right)k\left(\gamma''\right)}{\sqrt{6}\sigma_{c}}\frac{g\left(s\right)}{h_{c}^{0}} - \frac{m\left(\gamma''\right)k\left(\gamma''\right)}{3\sigma_{c}}I_{1} + s\left(\gamma_{p}\right).k\left(\gamma''\right)\right) \\ &= \left(\frac{\sqrt{\frac{2}{3}}\left|\sigma_{1} - \sigma_{3}\right|.h}{\sigma_{c}h_{c}^{0}}\right)^{\frac{1}{a\left[\gamma''\right]}} + \frac{1}{\sigma_{c}}\left(\frac{m\left(\gamma''\right)k\left(\gamma''\right)}{\sigma_{c}\sqrt{6}}\frac{\sqrt{\frac{2}{3}}\left|\sigma_{1} - \sigma_{3}\right|.h}{\sigma_{c}h_{c}^{0}} + \frac{m\left(\gamma''\right)k\left(\gamma''\right)}{3\sigma_{c}}\left(\sigma_{1} + 2\sigma_{3}\right) - s\left(\gamma''\right).k\left(\gamma''\right)\right) \\ &= \left(\frac{\sqrt{\frac{2}{3}}\left|\sigma_{1} - \sigma_{3}\right|}{\sigma_{c}h_{c}^{0}}\right)^{\frac{1}{a\left[\gamma''\right]}} + \left(\frac{m\left(\gamma''\right)k\left(\gamma''\right)}{\sigma_{c}}\sqrt{\frac{2}{3}}\left|\sigma_{1} - \sigma_{3}\right| + \frac{m\left(\gamma''\right)k\left(\gamma''\right)}{3\sigma_{c}}\left(\sigma_{1} + 2\sigma_{3}\right) - s\left(\gamma''\right).k\left(\gamma''\right)\right) \\ &= \left(\frac{\sqrt{\frac{2}{3}}}{\sigma_{c}}\right)^{\frac{1}{a\left[\gamma''\right]}} \left(\left|\sigma_{1} - \sigma_{3}\right|\right)^{\frac{1}{a\left[\gamma''\right]}} + \left(\frac{m\left(\gamma''\right).k\left(\gamma''\right)}{3\sigma_{c}}\left|\sigma_{1} - \sigma_{3}\right| + \frac{m\left(\gamma''\right).k\left(\gamma''\right)}{3\sigma_{c}}\left(\sigma_{1} + 2\sigma_{3}\right) - s\left(\gamma''\right).k\left(\gamma''\right)\right) \\ &= \left(\frac{\sqrt{\frac{2}{3}}}{\sigma_{c}}\right)^{\frac{1}{a\left[\gamma''\right]}} \left(\left|\sigma_{1} - \sigma_{3}\right|\right)^{\frac{1}{a\left[\gamma''\right]}} + \left(\frac{m\left(\gamma''\right).k\left(\gamma''\right)}{\sigma_{c}}\left(\sigma_{3} - \sigma_{1}\right) + \frac{m\left(\gamma''\right).k\left(\gamma''\right)}{3\sigma_{c}}\left(\sigma_{1} + 2\sigma_{3}\right) - s\left(\gamma''\right).k\left(\gamma''\right)\right) \\ &= \left(\frac{\sqrt{\frac{2}{3}}}{\sigma_{c}}\right)^{\frac{1}{a\left[\gamma''\right]}} \left(\left|\sigma_{1} - \sigma_{3}\right|\right)^{\frac{1}{a\left[\gamma''\right]}} + \left(\frac{m\left(\gamma''\right).k\left(\gamma''\right)}{\sigma_{c}}\left(\sigma_{3} - \sigma_{1}\right) + \frac{m\left(\gamma''\right).k\left(\gamma''\right)}{3\sigma_{c}}\left(\sigma_{1} + 2\sigma_{3}\right) - s\left(\gamma''\right).k\left(\gamma''\right)\right) \\ &= \left(\frac{\sqrt{\frac{2}{3}}}{\sigma_{c}}\right)^{\frac{1}{a\left[\gamma''\right]}} \left(\left|\sigma_{1} - \sigma_{3}\right|\right)^{\frac{1}{a\left[\gamma''\right]}} + \left(\frac{m\left(\gamma''\right).k\left(\gamma''\right)}{\sigma_{c}}\left(\sigma_{3} - \sigma_{1}\right) + \frac{m\left(\gamma''\right).k\left(\gamma''\right)}{3\sigma_{c}}\left(\sigma_{1} + 2\sigma_{3}\right) - s\left(\gamma''\right).k\left(\gamma''\right)\right) \\ &= \left(\frac{\sqrt{\frac{2}{3}}}{\sigma_{c}}\right)^{\frac{1}{a\left[\gamma''\right]}} \left(\left|\sigma_{1} - \sigma_{3}\right|\right)^{\frac{1}{a\left[\gamma''\right]}} + \left(\frac{m\left(\gamma''\right).k\left(\gamma''\right)}{\sigma_{c}}\left(\sigma_{3} - \sigma_{1}\right) + \frac{m\left(\gamma''\right).k\left(\gamma''\right)}{3\sigma_{c}}\left(\sigma_{1} + 2\sigma_{3}\right) - s\left(\gamma''\right).k\left(\gamma''\right)\right) \\ &= \left(\frac{\sqrt{\frac{2}{3}}}{\sigma_{c}}\right)^{\frac{1}{a\left[\gamma''\right]}} \left(\left|\sigma_{1} - \sigma_{3}\right|\right)^{\frac{1}{a\left[\gamma''\right]}} + \left(\frac{m\left(\gamma''\right).k\left(\gamma''\right)}{\sigma_{c}}\left(\sigma_{3} - \sigma_{1}\right) + \frac{m\left(\gamma''\right).k\left(\gamma''\right)}{3\sigma_{c}}\left(\sigma_{1} + 2\sigma_{3}\right) - s\left(\gamma''\right).k\left(\gamma''\right)\right) \\ &= \left(\frac{\sqrt{\frac{2}{3}}}{\sigma_{c}}\right)^{\frac{1}{a\left[\gamma''\right]}} \left(\left|\sigma_{1} - \sigma_{3}\right|\right)^{\frac{1}{a\left[\gamma''\right]}} + \left(\frac{m\left(\gamma''\right).k\left(\gamma''\right)}{\sigma_{c}}\left(\sigma_{3} - \sigma_{3}\right) + s\left(\gamma''\right).k\left(\gamma''\right)\right) \\ &= \left(\frac{\sqrt{\frac{2}{3}}}{\sigma_{c$$

Responsable: RAUDE Simon

Date: 17/05/2016 Page: 34/35 Clé: R7.01.15

Révision

ed0a05da1e89

Annexe 2Normalisation de Q

$$Q = \frac{1}{h(\theta)^{5}} \left[\left(1 + \frac{\gamma_{cjs}}{2} \cos(3\theta) \right) \frac{s}{s_{II}} + \frac{\gamma_{cjs} \sqrt{54}}{6.s_{II}^{2}} \det \left(\frac{\partial \det(\underline{s})}{\partial s} \right) \right]$$

On pose $t = \frac{\partial \det(\underline{s})}{\partial s}$ et $t = \det(\frac{\partial \det(\underline{s})}{\partial s})$ (cf document de Référence CJS R7.01.13)

$$Q_{II}^{2} = \mathbf{Q}.\mathbf{Q} = \frac{1}{h(\theta)^{10}} \left[1 + \frac{Y_{cjs}}{2} \cos(3\theta)^{2} + \frac{3}{2} \cdot \frac{Y_{cjs}^{2}}{s_{II4}} t^{d} \cdot t^{d} + \frac{Y_{cjs}\sqrt{54}}{3.s_{II}^{3}} \left(1 + \frac{Y_{cjs}}{2} \cos(3\theta) \right) s \cdot t^{d} \right]$$

Pour évaluer cette expression, on se place dans le cas où § est diagonal par soucis de simplification des calculs.

Ainsi :
$$s = \begin{bmatrix} s_1 \\ s_2 \\ s_3 \\ 0 \\ 0 \\ 0 \end{bmatrix}$$
 et $t^d = \frac{1}{3}$
$$\begin{bmatrix} 2s_2s_3 - s_1s_2 - s_1s_3 \\ 2s_1s_3 - s_1s_2 - s_2s_3 \\ 2s_1s_2 - s_1s_3 - s_2s_3 \\ 0 \\ 0 \\ 0 \end{bmatrix}$$

En utilisant la propriété de \mathbf{s} :, on $\mathbf{s} = s_1 + s_2 + s_3$ montre que $s_{11}^4 = \left(s_1^2 s_2^2 + s_1^2 s_3^2 + s_2^2 s_3^2\right)$ et par conséquent :

$$t^{d} t^{d} = \frac{1}{9} \begin{pmatrix} 2s_{2}s_{3} - s_{1}s_{2} - s_{1}s_{3} \\ 2s_{1}s_{3} - s_{1}s_{2} - s_{2}s_{3} \\ 2s_{1}s_{2} - s_{1}s_{3} - s_{2}s_{3} \\ 2s_{1}s_{2} - s_{1}s_{3} - s_{2}s_{3} \\ 0 \\ 0 \\ 0 \end{pmatrix} \begin{pmatrix} 2s_{2}s_{3} - s_{1}s_{2} - s_{1}s_{3} \\ 2s_{1}s_{3} - s_{1}s_{2} - s_{2}s_{3} \\ 2s_{1}s_{2} - s_{1}s_{3} - s_{2}s_{3} \\ 0 \\ 0 \\ 0 \end{pmatrix} = \frac{s_{11}}{6}$$

On montre également à partir de la propriété $s_1 + s_2 + s_3 = 0$ que $s_1^3 s_2^3 s_3^3 = 3s_1 s_2 s_3 = 3 \cdot \det(s)$ et par conséquent :

$$\frac{\gamma_{\text{cjs}}.\sqrt{54}}{3.\text{s}_{\text{II}}^{3}} \boldsymbol{s}. \boldsymbol{t}^{d} = \frac{\gamma_{\text{cjs}}.\sqrt{54}}{9.\text{s}_{\text{II}}^{3}} \qquad \begin{vmatrix} s_{1} \\ s_{2} \\ s_{3} \\ 0 \\ 0 \\ 0 \end{vmatrix} \cdot \begin{vmatrix} 2s_{2}s_{3} - s_{1}s_{2} - s_{1}s_{3} \\ 2s_{1}s_{3} - s_{1}s_{2} - s_{2}s_{3} \\ 2s_{1}s_{2} - s_{1}s_{3} - s_{2}s_{3} \\ 0 \\ 0 \\ 0 \end{vmatrix} = \frac{\gamma_{\text{cjs}}.\sqrt{54}}{s_{\text{II}}^{3}} \det(\boldsymbol{s}) = \gamma_{s}.\cos(3\theta)$$

On en déduit ainsi :

Titre : Loi de comportement de LAIGLE Responsable : RAUDE Simon Date : 17/05/2016 Page : 35/35 Clé : R7.01.15 Révision

ed0a05da1e89

$$Q_{II}^{2} = \frac{1}{h(\theta)^{10}} \left[\left(1 + \frac{\gamma_{cjs}}{2} \cos(3\theta) \right)^{2} + \frac{\gamma_{cjs}^{2}}{4} + \gamma_{cjs} \cos(3\theta) \left(1 + \frac{\gamma_{cjs}}{2} \cos(3\theta) \right) \right]$$

Annexe 3Encadrement de l'angle de projection

On rappelle que $\cos \varphi_{s \xrightarrow{s \to 0}} \frac{3}{\left(\beta'^2 + 3\right) \sqrt{\left(\frac{3}{\beta'^2 + 3}\right)^2 - \frac{1}{4} + \frac{1}{2\left(1 + \gamma_{cjs}\cos\left(3\,\theta\right)\right)} + \frac{\gamma_{cjs}^2 - 1}{4\left(1 + \gamma_{cjs}\cos\left(3\,\theta\right)\right)^2}}$

On pose :
$$X(\psi) = \frac{1}{2(1 + \gamma_{cjs}\cos(\psi))} + \frac{\gamma_{cjs}^2 - 1}{4(1 + \gamma_{cjs}\cos(\psi))^2}$$
 où $\psi \in [0, 2\pi[$

On note que : $X(-\psi) = X(\psi)$, la fonction X étant paire on restreint l'intervalle d'étude à $\psi \in [0,2\pi[$.

La résolution de
$$\frac{dX}{d\psi} = 0$$
 donne $\frac{\gamma_{\rm cjs}\sin\left(\psi\right)}{2\left(1 + \gamma_{\rm cis}\cos\left(\psi\right)\right)^3} \cdot \gamma_{\rm cjs.}\left(\gamma_{\rm cjs} + \cos\left(3\psi\right)\right) = 0$

On en déduit que les bornes inférieure et supérieure de la fonction $\ X$ sont :

$$\begin{cases} X\left(\psi=0\right) = \frac{1}{4} \\ X\left(\psi_{cjs}\right) = \frac{1}{4\left(1-\gamma_{cjs}^{2}\right)} \text{ où } \psi_{cjs} \text{ est tel que } \cos\left(\psi_{cjs}\right) = -\gamma_{cjs} \end{cases}$$

On peut ainsi donner l'encadrement de $\cos\phi_s$ suivant : $\cos\phi_s^{min} \le \cos\phi_s^{max} \le \cos\phi_s^{max}$ avec :

$$\cos \varphi_{s}^{\min} = \frac{3}{\left(\beta^{2} + 3\right) \sqrt{\left(\frac{3}{\beta^{2} + 3}\right)^{2} + \frac{\gamma_{cjs}^{2}}{4\left(1 - \gamma_{cjs}^{2}\right)}}}$$
$$\cos \varphi_{s}^{\max} = 1$$